COMUNE DI ERCOLANO



(PROVINCIA DI NAPOLI)

PROGETTO DEFINITIVO RIPRISTINO STRUTTURALE DI UN TRATTO DI VIA CROCE DEI MONTI CHE SI PRESENTA PARZIALMENTE CROLLATO NEL SUOLO AGRICOLO SOTTOSTANTE



PROGETTISTA



Ing. Claudio Enzo Presutti

80016 MARANO DI NAPOLI (NA)-Via Casalanno 51 tel/fax 081 5863127 mobile: 338 7915659 - PIVA 01728480706 e-mail claudiopresutti@virgilio.it PEC: claudiopresutti@postecert.it

DIRIGENTE - RUP

Ing. Aniello Moccia

ASSESSORE LL PP

Avv.Lucio Perone

SINDACO

Avv.Ciro Buonajuto

TITOLO ELABORATO

RELAZIONE DI CALCOLO PRELIMINARE DELLE STRUTTURE

NUMERO ELABORATO

04-ED.03

SCALA DATA

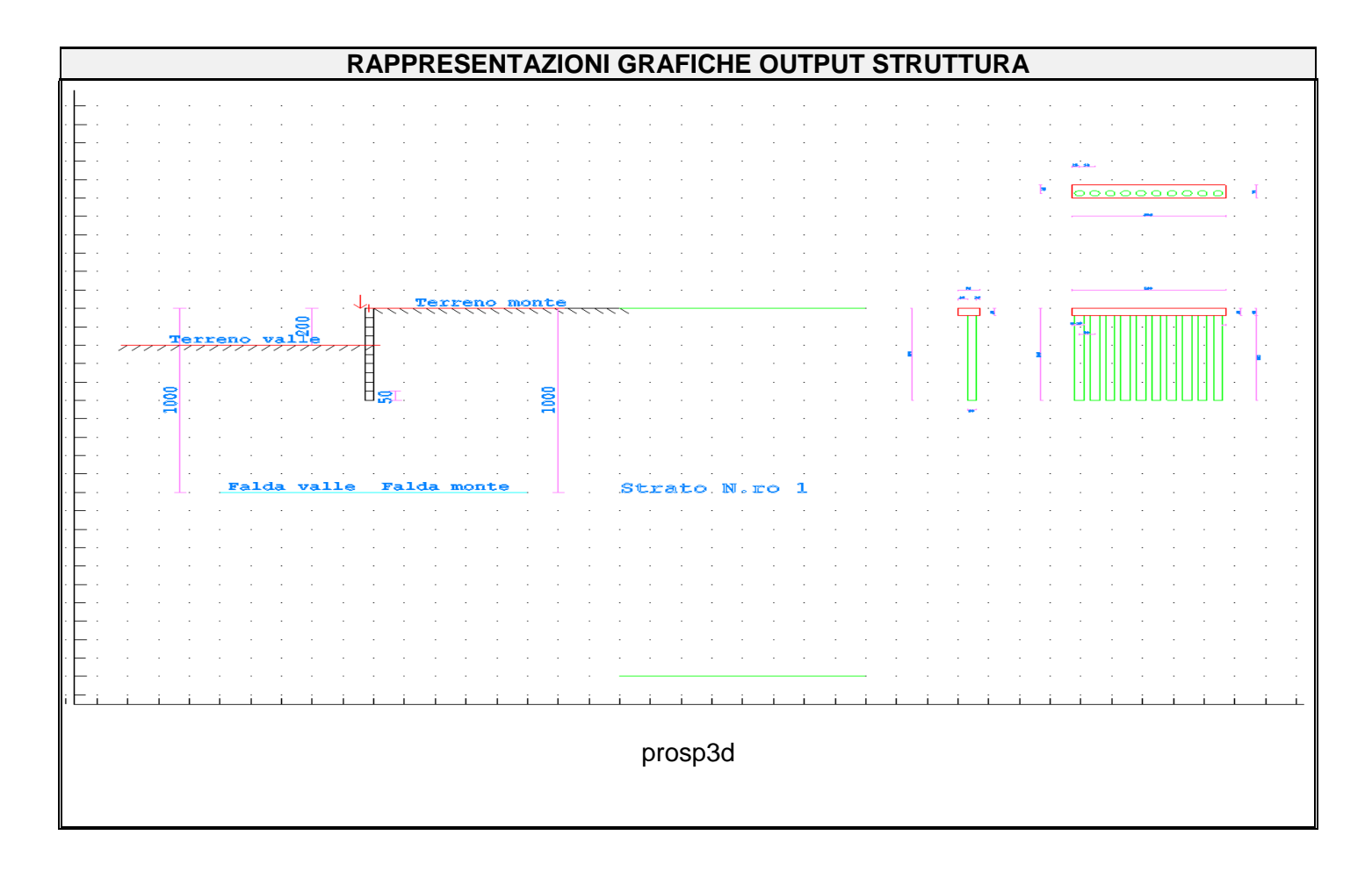
ottobre 2018

REV. 00

RELAZIONE DI CALCOLO

Nel presente elaborato si riportano i calcoli preliminari della paratia in c.a. prevista nel progetto di "RIPRISTINO STRUTTURALE DI UN TRATTO DI VIA CROCE DEI MONTI CHE SI PRESENTA PARZIALMENTE CROLLATO NEL SUOLO AGRICOLO SOTTOSTANTE"

Si calcola la tipologia maggiormente sollecitata, considerando tra le condizioni di carico anche un sovraccarico indotto dal traffico automobilistico, il tutto come indicato nei prossimi paragrafi.



NORMATIVA DI RIFERIMENTO

La normativa cui viene fatto riferimento nelle fasi di calcolo, verifica e progettazione è costituita dalle Norme Tecniche per le costruzioni emanate con il D.M. 17/01/2018 pubblicato nel suppl. 8 G.U. 42 del 20/02/2018, nonché la Circolare del Ministero Infrastrutture e Trasporti del 2 Febbraio 2009, n. 617 "Istruzioni per l'applicazione delle nuove norme tecniche per le costruzioni".

• CALCOLO DELLE SPINTE

Il calcolo delle spinte viene convenzionalmente riferito ad un metro di profondità di paratia. Pertanto tutte le grandezze riportate in stampa, sia per i dati di input che per quelli di output, debbono di conseguenza attribuirsi ad un metro di profondità della paratia stessa.

Per rendere più completa la trattazione relativa alla determinazione delle spinte sarà opportuno distinguere i seguenti casi:

- Spinta delle terre:
 - a) con superficie del terreno rettilinea
 - b) con superficie del terreno spezzata
- Spinta del sovraccarico ripartito uniforme:
 - a) con superficie del terreno rettilinea
 - b) con superficie del terreno spezzata
- Spinta del sovraccarico ripartito parziale
- Spinta del sovraccarico concentrato lineare
- Spinte in presenza di coesione
- Spinta interstiziale in assenza o in presenza di moto di filtrazione
- Spinta passiva

• SPINTA DELLE TERRE

Trattandosi di terreni stratificati, discretizzato il diaframma in un congruo numero di punti, si determina la spinta sulla parete come risultante delle pressioni orizzontali in ogni concio, calcolate come:

$$\sigma_h = \sigma_v \cdot K \cdot \cos \delta$$

dove:

 σ_h = pressione orizzontale

 σ_v = pressione verticale

K = coefficiente di spinta dello strato di calcolo

 δ = coefficiente di attrito terra-parete

La pressione verticale è data dal peso del terreno sovrastante:

- in termini di tensioni totali:

$$\sigma_v = \tau \cdot z$$

 τ = peso specifico del terreno

z = generica quota di calcolo della pressione a partire dall'estradosso del terrapieno

- in termini di tensioni efficaci in assenza di filtrazione:

$$\sigma_{\cdot \cdot \cdot} = \tau' \cdot z$$

 $\vec{\tau}$ = peso specifico efficace del terreno

- in termini di tensioni efficaci in presenza di filtrazione discendente dal terrapieno:

$$\sigma_{v} = \left[\tau - \tau_{w} \cdot (1 - I_{w})\right] \cdot z$$

dove:

 τ = peso specifico del terreno

 τ_w = peso specifico dell'acqua

 $I_{\rm w}$ = gradiente idraulico: $\delta H / \delta L$

 δH = differenza di carico idraulico

 δL = percorso minimo di filtrazione

- in termini di tensioni efficaci in presenza di filtrazione ascendente dal terrapieno:

$$\sigma_v = [\tau - \tau_w \cdot (1 + I_w)] \cdot z$$

a) Con superficie del terreno rettilinea

Lo schema di calcolo è basato sulla teoria di Coulomb nell'ipotesi di assenza di falda:

$$K_{a} = \frac{\operatorname{sen}^{2}(\beta + \phi)}{\operatorname{sen}^{2}\beta \cdot \operatorname{sen}(\beta - \delta) \cdot \left[1 + \left(\frac{\operatorname{sen}(\phi + \delta) \cdot \operatorname{sen}(\phi - \varepsilon)}{\operatorname{sen}(\beta - \delta) \cdot \operatorname{sen}(\beta + \varepsilon)}\right)^{\frac{1}{2}}\right]^{2}}$$
 (Muller-Breslau)

avendo indicato con:

 $\beta = 90^{\circ}$: inclinazione del paramento interno rispetto all'orizzontale;

 ϕ = angolo d'attrito interno del terreno;

 δ = angolo di attrito terra-muro;

 ε = angolo di inclinazione del terrapieno rispetto all'orizzontale.

b) Con superficie del terreno spezzata

In questo caso, pur mantenendo le ipotesi di *Coulomb*, la ricerca del cuneo di massima spinta non conduce alla determinazione di un unico coefficiente, come nella forma di *Muller-Breslau*, giacché il diagramma di spinta non è più triangolare bensì poligonale.

Posto l_i = lunghezza, in orizzontale, del tratto inclinato:

$$dh = l_i \times tan \varepsilon$$

e, permanendo la solita simbologia, si procede alla determinazione del cuneo di massima spinta ricavando l'angolo di inclinazione della corrispondente superficie di scorrimento, detto ro tale angolo, si ottiene, per $\beta = 90^{\circ}$:

$$\tan(ro) = \frac{1}{-\tan(ro) + \left[(1 + \tan^2 \phi) \cdot \left(1 + \frac{l_i \cdot dh}{(H + dh)^2 \cdot \tan \phi} \right) \right]^{\frac{1}{2}}}$$

Tracciando una retta inclinata di 'ro' a partire dal vertice della spezzata si stacca ,sulla superficie di spinta, un segmento di altezza:

$$h = l_i \cdot \frac{(\tan(ro) - \tan \varepsilon) \cdot \tan \beta}{\tan(ro) + \tan \beta}$$

su questo tratto della superficie di spinta si assumerà il seguente coefficiente di spinta attiva:

$$K_{a1} = \frac{(\tan \beta + \tan(ro)) \cdot \left(1 + \frac{\tan \varepsilon}{\tan \beta}\right) \cdot \tan(ro - \phi)}{\tan \beta \cdot (\tan(ro) - \tan \varepsilon)}$$

mentre per il restante tratto di altezza (H - h) si assumerà:

$$K_{a2} = \frac{(\tan \beta + \tan(ro)) \cdot \tan(ro - \phi)}{\tan \beta \cdot \tan(ro)}$$

- c) Incremento di spinta sismica:
- Calcolo dell'incremento di spinta sismica secondo *D.M. 16/01/96*:

$$K_{as} = K' - A \cdot K_a$$

essendo:

$$A = \frac{\cos^2(\alpha + \tau)}{\cos^2\alpha + \cos\tau}$$

con:

 α = angolo formato dall'intradosso con la verticale

 $\tau = arctan C$

C = coefficiente di intensità sismica

K' = coefficiente calcolato staticamente per $\varepsilon' = \varepsilon + \tau$ e $\beta' = \beta - \tau$

La pressione ottenuta ha un andamento lineare, con valore zero al piede del diaframma e valore massimo in sommità.

- Calcolo dell'incremento di spinta sismica secondo $\underline{N.T.C.}$: in assenza di studi specifici, i coefficienti sismici orizzontale (k_h) e verticale (k_v) che interessano tutte le masse sono calcolati come (7.11.6.3.1):

$$g \cdot K_h = \alpha \cdot \beta \cdot a_{\text{max}}$$

$$a_{\text{max}} = a_g \cdot S_S \cdot S_T$$

$$K_v = 0.5 \cdot K_h$$

La forza di calcolo viene denotata come E_d da considerarsi come la risultante delle spinte statiche e dinamiche del terreno. Tale spinta totale di progetto E_d , esercitata dal terrapieno ed agente sull'opera di sostegno, è data da:

$$E_d = \frac{1}{2} \cdot \tau' \cdot (1 \pm K_v) \cdot K \cdot H^2 + E_{ws}$$

dove:

Hè l'altezza del muro;

 E_{ws} è la spinta idrostatica;

 τ ' è il peso specifico del terreno (definito ai punti seguenti);

K è il coefficiente di spinta del terreno (statico + dinamico).

Il coefficiente di spinta del terreno può essere calcolato mediante la formula di Mononobe e Okabe.

- Se $\beta \leq \phi - \Theta$:

$$K_{a} = \frac{\operatorname{sen}^{2}(\alpha + \phi - \Theta)}{\operatorname{cos}\Theta \cdot \operatorname{sen}^{2}\alpha \cdot \operatorname{sen}(\phi - \Theta - \delta) \cdot \left[1 + \left(\frac{\sin(\phi + \delta) \cdot \operatorname{sen}(\phi - \beta - \Theta)}{\operatorname{sen}(\phi - \Theta - \delta) \cdot \operatorname{sen}(\alpha + \beta)}\right)^{\frac{1}{2}}\right]^{2}}$$

Se $\beta > \phi - \Theta$:

$$K_a = \frac{\sin^2(\alpha + \phi - \Theta)}{\cos\Theta \cdot \sin^2\alpha \cdot \sin(\phi - \Theta - \delta)}$$

- ¢: è il valore di calcolo dell'angolo di resistenza a taglio del terreno in condizioni di sforzo efficace;
- α , β : sono gli angoli di inclinazione rispetto all'orizzontale rispettivamente della parete del muro rivolta a monte e della superficie del terrapieno;
- δ : è il valore di calcolo dell'angolo di resistenza a taglio tra terreno e muro;
- - Θ : è l'angolo definito successivamente in funzione dei seguenti casi:

Livello di falda al di sotto del muro di sostegno:

 $\tau' = \tau$ peso specifico del terreno

$$\tan\Theta = \frac{K_h}{1 \pm K_v}$$

Terreno al di sotto del livello di falda:

 $\tau' = \tau - \tau_w$ peso immerso del terreno τ_w : peso specifico dell'acqua

$$\tan\Theta = \frac{\tau}{\tau - \tau_w} \cdot \frac{K_h}{1 \pm K_v}$$

b) Inerzia della parete:

In presenza di sisma l'opera è soggetta alle forze di inerzia della parete:

- Forze di inerzia secondo <u>D.M. 16/01/96</u>:

$$F_i = C \cdot W$$

con C = coefficiente di intensità sismica

- Forze di inerzia secondo *N.T.C.*:

$$F_{ih} = K_h \cdot W$$

$$F_{iv} = K_v \cdot W$$

$$K_h = \frac{S \cdot a_g}{r}$$

$$K_v = \frac{K_h}{2}$$

Al fattore *r* può essere assegnato il valore 2 nel caso di opere di sostegno che ammettano spostamenti, per esempio i muri a gravità, o che siano sufficientemente flessibili. In presenza di terreni non coesivi saturi deve essere assunto il valore 1.

• SPINTA DEL SOVRACCARICO RIPARTITO UNIFORME

a) Con superficie del terreno rettilinea

In questo caso ,intendendo per Q il sovraccarico per metro lineare di proiezione orizzontale:

$$\sigma_{v} = Q$$

b) Con superficie del terreno spezzata

Una volta determinata la superficie di scorrimento del cuneo di massima spinta (ro), quindi il diagramma di carico che grava sul cuneo di spinta ,si scompone tale diagramma in due strisce; la prima agente sul tratto di terreno inclinato, la seconda sul rimanente tratto orizzontale.

Ognuna delle strisce di carico genererà un diagramma di pressioni sul muro i cui valori saranno determinati secondo la formulazione di *Terzaghi* che esprime la pressione alla generica profondità *z* come:

$$\sigma_h = \frac{2 \cdot Q \cdot W}{\pi} \cdot (\Theta - \sin\Theta \cdot \cos 2\tau)$$

dove:

$$W = \frac{\operatorname{sen} \beta}{\operatorname{sen}(\beta + \varepsilon)}$$

• SPINTA DEL SOVRACCARICO CONCENTRATO LINEARE

Il carico concentrato lineare genera un diagramma delle pressioni sul muro che può essere determinato usando la teoria di Boussinesq:

Essendo:

 d_l = distanza del sovraccarico dal muro, in orizzontale

 q_l = intensità del carico;

e posto

$$m = \frac{d_l}{H}$$

si ottiene il valore della pressione alla generica profondità z in base alle seguenti relazioni:

a) per $m \le 0.4$

$$\sigma_h = 0.203 \cdot \frac{q_l}{H} \cdot \frac{\frac{z}{H}}{\left[0.16 + \left(\frac{z}{H}\right)^2\right]^2}$$

b) per m > 0.4

$$\sigma_h = 4 \cdot \frac{q_l}{H \cdot \pi} \cdot \frac{m \cdot \frac{z}{H}}{\left[m^2 + \left(\frac{z}{H}\right)^2\right]^2}$$

SPINTA ATTIVA DOVUTA ALLA COESIONE

La coesione determina una controspinta sulla parete, pari a:

$$\sigma_h = -2 \cdot C \cdot \sqrt{K_a} \cdot \sqrt{1 + R_{ac}}$$

essendo:

C = coesione dello strato

 R_{ac} = rapporto aderenza/coesione

• SPINTA INTERSTIZIALE

La spinta risultante dovuta all'acqua è pari alla differenza tra la pressione interstiziale di monte e di valle.

Nel caso di filtrazione discendente da monte e ascendente da valle:

$$\sigma_h = \tau_w \cdot \left[H_{wm} \cdot (1 - I_w) - H_{wv} \cdot (1 + I_w) \right]$$

dove:

 H_{wn} = quota della falda di monte H_{wv} = quota della falda di valle

Nel caso di filtrazione discendente da valle e ascendente da monte:

$$\sigma_h = \tau_w \cdot \left[H_{wm} \cdot (1 + I_w) - H_{wv} \cdot (1 - I_w) \right]$$

• SPINTA PASSIVA

$$\sigma_{h_p} \cdot R_p = \sigma_v \cdot K_p \cdot \cos \delta + 2 \cdot C \cdot \sqrt{K_p} \cdot \sqrt{1 + R_{ac}}$$

dove:

 σ_{hp} = pressione passiva orizzontale

 R_p = coefficiente di riduzione della spinta passiva

 σ_{v} = pressione verticale

 K_p = coefficiente di spinta passiva dello strato di calcolo

 δ = coefficiente di attrito terra-parete

C = coesione

 R_{ac} = rapporto aderenza/coesione

a) per $\phi <> 0$:

$$K_{p} = \frac{\operatorname{sen}^{2}(\beta - \phi)}{\operatorname{sen}^{2}\beta \cdot \operatorname{sen}(\beta + \delta) \cdot \left[1 - \left(\frac{\operatorname{sen}(\phi + \delta) \cdot \operatorname{sen}(\phi + \varepsilon)}{\operatorname{sen}(\beta + \delta) \cdot \operatorname{sen}(\beta + \varepsilon)}\right)^{\frac{1}{2}}\right]^{2}}$$

b) per $\phi = 0$:

$$K_p = 1$$

• EQUILIBRIO DELLA PARATIA E CALCOLO DELLE SOLLECITAZIONI

Il diaframma è una struttura deformabile, per cui in funzione degli spostamenti che assume è in grado di mobilitare pressioni dal terreno circostante. Nella trattazione classica per determinare le spinte sul tratto infisso della paratie si ipotizza che il terreno circostante sia in condizioni di equilibrio limite, per cui ipotizzata una deformata si possono determinare le zone attive e passive del terreno e le relative pressioni.

Questo modo di procedere fornisce buoni risultati nei problemi di progetto e nel caso si vogliano determinare dei valori globali di sicurezza mentre non permette di valutare con buona approssimazione i diagrammi delle sollecitazioni. Inoltre un grande limite è rappresentato dal fatto che i metodi classici non permettono di tenere in conto la presenza di più di un tirante.

Un modo più moderno di affrontare il problema dell'equilibrio delle paratie è quello di utilizzare delle tecniche di soluzione più generali quali quello degli elementi finiti. L'algoritmo di soluzione utilizzato nel programma si può riassumere nei seguenti passi principali:

- 1 discretizzazione della paratia con elementi trave elastici.
- 2 modellazione dei tiranti con molle elastiche che reagiscono solo nel caso la paratia si allontani dal terreno (tiranti o sbadacchi).
- 3 modellazione del terreno in cui e' infissa la paratia con molle non lineari con legame costitutivo di tipo bilatero.
- 4 algoritmo di soluzione per sistemi di equazioni non lineari che utilizza la tecnica della matrice di rigidezza secante.
- 5 calcolo degli spostamenti della paratia, in particolare gli spostamenti dei tiranti e del fondo scavo che danno preziose informazioni sulla deformabilità del sistema terreno- paratia.
- 6 calcolo delle sollecitazioni degli elementi trave (taglio, momento).
- 7 calcolo delle pressioni sul terreno dove e' infissa la paratia.

Descrizione dell'algoritmo

Si discretizza la paratia in n-l conci di trave connessi ad n nodi. Si calcola quindi la matrice di rigidezza elementare del concio e quindi si esegue l'assemblaggio della matrice globale. Ogni nodo presenta due gradi di libertà (spostamento trasversale e rotazione), quindi si hanno in totale $2 \times n$ gradi di libertà globali.

La matrice di rigidezza assemblata di dimensioni $(2n \times 2n)$ risulta non invertibile in quando la struttura ammette moti rigidi. I moti rigidi e quindi la labilità della struttura vengono eliminati modellando il terreno in cui la paratia risulta infissa ed i tiranti.

Sia il terreno che i tiranti vengono modellati con delle molle i cui valori di rigidezza vengono sommati agli elementi diagonali della matrice globale. I tiranti hanno un legame costitutivo unilatero.

RIGIDEZZA DEL TIRANTE:

Se:

L = lunghezza

A = Area del tirante/interasse

E = modulo elastico del tirante

f = angolo di inclinazione

T = sforzo sul tirante/puntone v = spostamento

ne consegue:

$$K = \frac{A \cdot E}{L} \cdot \cos^2 f$$

$$T = K \times v$$
 se $v \ge 0$

T = 0 se v < 0 (la paratia si avvicina al terreno)

RIGIDEZZA DEL TERRENO (Bowles, Fondazioni pag.649):

Se:

c = coesione g peso specifico efficace

Nc, Nq, Ng coefficienti di portanza z quota infissione

$$K = 40 \times (c \times Nc + 0.5 \times g \times 1 \times Ng) + 40 \times (g \times Nq \times z)$$

Il legame costitutivo pressione terreno-spostamento v della paratia si assume di tipo non lineare bilatero:

vl = 1,5 cm spostamento limite elastico

Pp = pressione passiva

 $Pu = min(vl \times K, Pp)$ pressione massima sopportata dal terreno

 $K \times v \le Pu$ (fase elastica)

P(v) = Pu se $K \times v > Pu$ (fase plastica)

Il sistema non lineare risolvente risulta quindi:

K(v) matrice secante

F = forze nodali

F = K(v) v

 $v_i = inv(K(v_{i-1}) F$ per i = 0, ..., n

Risolto iterativamente il sistema non lineare si ottengono gli spostamenti nodali e quindi pressioni, sollecitazioni e forze ai tiranti. È importante al fine di una corretta verifica della paratia controllare lo spostamento al fondo scavo della paratia.

• ANCORAGGI

La lunghezza minima del tirante è determinata in maniera tale che la retta passante dalla punta estrema dell'ancoraggio e dal piede del diaframma formi un angolo pari a ϕ (angolo di attrito interno) con la verticale.

BLOCCO DI ANCORAGGIO

Il blocco di ancoraggio, nell'ipotesi che esso sia continuo lungo tutta la lunghezza del diaframma, deve dimensionarsi sulla base di un coefficiente di sicurezza che vale:

$$\mu_a = \frac{\tau \cdot H_a^2 \cdot (K_p - K_a)}{2 \cdot T_r}$$

dove:

 τ = peso specifico del terreno

 H_a = affondamento del blocco di ancoraggio nel terreno

 K_p = coefficiente di spinta passiva

 $\vec{K_a}$ = coefficiente di spinta attiva

 T_r = forza di trazione sull'ancoraggio

BULBO DI ANCORAGGIO DI CALCESTRUZZO INIETTATO SOTTO PRESSIONE

Se:

 T_u = sforzo resistente

 T_r = forza di trazione sull'ancoraggio

 μ_a = coefficiente di sicurezza

A = area bulbo

 p_v = pressione verticale f = angolo di attrito del terreno Ko = 1-sin(f) (spinta a riposo) c = coesione

allora:

$$T_u = A \cdot \left[p_v \cdot Ko \cdot \tan\left(\frac{2}{3} \cdot f\right) + 0.8 \cdot c \right]$$

• VERIFICHE

Il programma esegue le verifiche di resistenza sugli elementi strutturali in funzione della tipologia della paratia. Le verifiche verranno eseguite per tutte le tipologie a scelta dell'utente sia con il metodo delle tensioni ammissibili che con il metodo degli SLU.

Per la generica in particolare la verifica agli S.L.U. prevede solo l'utilizzo di materiali assimilabili ai sensi della normativa vigente all'acciaio Fe360, Fe430 e Fe510. In particolare per il metodo degli S.L.U. si prevede che le azioni di calcolo utilizzate per le verifiche di resistenza derivanti vengano incrementate di un coefficiente parziale pari a 1,50.

Per le sezioni in acciaio la verifica S.L.U. viene effettuato al limite elastico.

Le verifiche saranno effettuate, coerentemente con il metodo selezionato (T.A. S.L.U), rispettando la normativa vigente per le strutture in c.a. ed in acciaio.

Le verifiche saranno effettuate sia sulla sezione della paratia che sugli elementi secondari quali cordoli in c.a. ed in acciaio, testata di ancoraggio in acciaio per le berlinesi.

Le sollecitazioni agenti sul cordolo vengono calcolate schematizzandolo come una trave continua caricata con forze concentrate. Nel caso di cordoli in c.a. vengono effettuate le verifiche consuete per le travi soggette a momento flettente e taglio. Nel caso di cordoli realizzati in acciaio vengono effettuate le seguenti verifiche:

- 1) verifica del profilo del longherone calcolato a trave continua e caricato con forze concentrate.
- 2) Verifica del comportamento a mensola della piattabanda del profilo a contatto con i pali della berlinese.
- 3) Verifica che la risultante inclinata del tirante sia interna alla area di contatto costituita dalle piattabande dei profili.
- 4) Verifica della piastra forata della testata sollecitata dal tiro del tirante irrigidita con eventuali nervature.
- 5) Verifica della piastra forata della testata in corrispondenza dello incastro con le nervature laterali della testata. Verifica della saldature corrispondente di tipo II classe a T o completa penetrazione.

• SPECIFICHE CAMPI DELLA TABELLA DI STAMPA

La simbologia riportata in tabella va interpretata secondo le descrizioni dei campi riportate di seguito:

Str. N.ro : Numero dello strato

Spess. : Spessore dello strato

Coesione : Coesione

Rapp. ader/co : Rapporto Aderenza/Coesione

Ang. attr. : Angolo di attrito interno dello strato in esame

Peso spec. : Peso specifico del terreno in situ

Ripristino strutturale di un tratto di via croce dei monti che si presenta parzialmente crollato nel suolo agricolo sottostante Comune di Ercolano (NA)

Peso effic. : Peso specifico efficace del terreno saturo

Attr. terra-muro : Angolo di attrito terra-muro

Descriz. : Descrizione sintetica dello strato

SPECIFICHE CAMPI DELLA TABELLA DI STAMPA

La simbologia riportata in tabella va interpretata secondo le descrizioni dei campi riportate di seguito:

Ka : Coefficiente di spinta attiva

Kas : Coefficiente di spinta attiva sismica

Kp : Coefficiente di spinta passiva

• SPECIFICHE CAMPI DELLA TABELLA DI STAMPA

La simbologia riportata in tabella va interpretata secondo le descrizioni dei campi riportate di seguito:

Pq : pressioni (superiore e inferiore) da sovraccarico distribuito

Pl : pressioni da sovraccarico lineare

Pa : pressioni (superiore e inferiore) da spinta attiva

Pc : pressioni da coesione

Ps : pressioni (superiore e inferiore) da incremento sismico

Pn : pressioni inerziali

Pwm : pressioni interstiziali da monte

Pwv : pressioni interstiziali da valle

Pwm : Incremento sismico pressioni interstiziali da monte

Pwvs : Incremento sismico pressioni interstiziali da valle

Dove presente il dato del rigo superiore si riferisce al valore della grandezza all'estremità superiore e quello del rigo inferiore al valore della grandezza all'estremità inferiore del concio di paratia esaminato.

• SPECIFICHE CAMPI DELLA TABELLA DI STAMPA

La simbologia riportata in tabella va interpretata secondo le descrizioni dei campi riportate di seguito:

Nro : Numero del concio a partire dalla testa della paratia

Quota : Quota del fondo del concio, a partire dalla testa della paratia

Pr : Pressione risultante orizzontale (superiore ed inferiore)

Pv : Pressione verticale risultante (superiore ed inferiore)

Mf : Momento flettente

N : Sforzo normale

Tg : Taglio (superiore ed inferiore)

Dove presente il dato del rigo superiore si riferisce al valore della grandezza all'estremità superiore e quello del rigo inferiore al valore della grandezza all'estremità inferiore del concio di paratia esaminato.

• SPECIFICHE CAMPI DELLA TABELLA DI STAMPA

La simbologia riportata in tabella va interpretata secondo le descrizioni dei campi riportate di seguito:

METODO DI VERIFICA: STATI LIMITI ULTIMI

PARATIA CON SEZIONE RETTANGOLARE IN C.A.

Nr : Numero del concio a partire dalla testa della paratia

Quota: Quota del fondo del concio, a partire dalla testa della paratiaMf: Momento flettente di progetto riferito ad una sezione di 1 m.N: Sforzo normale di progetto riferito ad una sezione di 1 m.Am: Area armature posta sul lembo di monte di una sezione di 1 m.Av: Area armature posta sul lembo di valle di una sezione di 1 m.Mu: Momento resistente ultimo di progetto agente su una sezione di 1 m.

T : Taglio di progetto agente su una sezione di 1 m.

Tu : Taglio resistente ultimo relativo ad una sezione di 1 m.

passo st. : Passo armature di ripartizione di progetto

PARATIA CON PALI IN C.A.

Nr : Numero del concio a partire dalla testa della paratia

Quota
 : Quota del fondo del concio, a partire dalla testa della paratia
 Mf
 : Momento flettente di progetto riferito ad un singolo palo
 N
 : Sforzo normale di progetto riferito ad un singolo palo

Aa : Area armature riferito ad un singolo palo

Mu : Momento resistente ultimo riferito ad un singolo palo

Tu : Taglio resistente ultimo riferito ad un singolo palo

Passo armatuna di ripartizione di passo etto.

passo st. : Passo armature di ripartizione di progetto

PARATIA CON SEZIONE IN ACCIAIO, BERLINESE E GENERICA

Nr : Numero del concio a partire dalla testa della paratia

Quota: Quota del fondo del concio, a partire dalla testa della paratiaMf: Momento flettente agente sul singolo profilo o paloN: Sforzo normale agente sul singolo profilo o palo

Taglio agente sul singolo profilo o palo
 σΜ : Tensione normale dovuta a momento flettente
 σN : Tensione normale dovuta a sforzo normale

τ : Tensione tangenziale

σideale : Tensione ideale. Viene stampato NOVER in caso ecceda il valore limite elastico

CORDOLO IN CALCESTRUZZO ARMATO

N.ro : Numero del cordolo

: Momento flettente massimo Mf

: Armatura simmetrica posizionata sul lembo teso/compresso Aa

Mu : Momento ultimo di progetto

T Taglio massimo

Tu : Taglio ultimo di progetto : Passo staffe di progetto passo st.

CORDOLO IN ACCIAIO

N.ro : Numero del cordolo

Sigla : Descrizione del profilo dei longheroni

Mf : Momento flettente massimo agente sul singolo longherone

T Taglio massimo agente sul singolo longherone

Tensione normale agente sulla sezione del longherone SigM : Tensione tangenziale agente sulla sezione del longherone Tau

: Tensione ideale agente sulla sezione del longherone. Viene stampato "NOVER" in SigI

caso ecceda il valore limite elastico

SigC : Tensione normale agente sulla sezione di incastro della piatta banda del longherone

a causa della pressione di contatto longherone palo. Viene stampato "NOVER" in

caso ecceda il valore limite elastico

Mf : Momento flettente agente sulla sezione forata della piastra

T Taglio massima agente sulla piastra

SigM Tensione normale agente sulla sezione forata della piastra

Tau Tensione tangenziale massima sulla piastra

Tensione ideale agente sulla sezione forata della piastra. Viene stampato "NOVER" SigI

in caso ecceda il valore limite elastico

: Momento flettente agente sulla sezione saldata d'incastro della piastra Mfi SigS Tensione normale agente sulla saldatura d'incastro della piastra

SigI Tensione ideale agente sulla saldatura d'incastro della piastra. Viene stampato

"NOVER" in caso ecceda il valore limite elastico

Mf : Momento flettente agente sulla sezione delle nervatura laterale ad altezza variabile N

: Sforzo normale massimo agente sulla sezione delle nervatura laterale ad altezza

variabile

T : Taglio massimo agente sulla sezione delle nervatura laterale ad altezza variabile

SigM : Tensione normale dovuta a momento flettente agente sulla sezione della nervatura

laterale in corrispondenza dell'asse del tirante

SigN : Tensione normale dovuta a Sforzo Normale agente sulla sezione della nervatura

laterale in corrispondenza dell'asse del tirante

Tau : Tensione tangenziale massima tra la sezione della nervatura laterale in

corrispondenza dell'asse del tirante e la sezione di appoggio sul longherone

SigI : Tensione ideale massima tra la sezione della nervatura laterale in corrispondenza

dell'asse del tirante e la sezione di appoggio sul longherone. Viene stampato

"NOVER" in caso ecceda il valore limite elastico

• SPECIFICHE CAMPI DELLA TABELLA DI STAMPA

La simbologia riportata in tabella va interpretata secondo le descrizioni dei campi riportate di seguito:

CEDIMENTI VERTICALI TERRENO DI MONTE

Tipo di Analisi : Indica il tipo di combinazione e di tabella dei materiali associata

Comb. N.ro : Numero combinazione della tabella associata al tipo di analisi (SLU M1, SLU M2,

RARA, FREQUENTE, QUASI PERMANENENTE)

Volume (mc) : Volume del terreno deformato

DistMax (m.) : Distanza massima orizzontale dalla paratia alla quale si annullano i cedimenti

Ced.x =0 : Cedimento verticale a ridosso della paratia

Ced.x =1/4 : Cedimento verticale ad 1/4 della distanza massima

Ced.x = 2/4 : Cedimento verticale ad 2/4 della distanza massima

Ced.x = 3/4 : Cedimento verticale ad 3/4 della distanza massima

| DATI GENERALI DI CALCOLO E CARATTERISTICHE MATERIALI | | | | | | | | | |
|--|----------------|----------------------|---|--|----------|--|--|--|--|
| DATI GENERALI | | | | | | | | | |
| PARAMETRI SISMICI | | | | | | | | | |
| Vita Nominale (Anni) | 50 | Classe d' Uso | | | TERZA | | | | |
| Longitudine Est (Grd) | 14,37613 | Latitudine Nord | (Grd) | | 40,80804 | | | | |
| Categoria Suolo | С | Coeff. Condiz. | | | 1,00000 | | | | |
| | AMETRI | | S.L.D. | | | | | | |
| Probabilita' Pvr | 0,63 | Periodo Ritorno | | | 75,00 | | | | |
| Accelerazione Ag/g | 0,07 | Fattore Stratigr. | | | 1,50 | | | | |
| | AMETRI | SISMICI : | S.L.V. | | | | | | |
| Probabilita' Pvr | 0,10 | Periodo Ritorno | | | 712,00 | | | | |
| Accelerazione Ag/g | 0,19 | Fattore Stratigr. | | | 1,43 | | | | |
| COEFFICIENTI DI SPINTA SISMICA | | | | | | | | | |
| Coeff deformab. Alfa | Coeff. Spostam | Coeff. Spostam. Beta | | | | | | | |
| Coeff. Orizzontale | 0,19 | Coeff. Verticale | · , , , , , , , , , , , , , , , , , , , | | | | | | |
| | DATI | PARATIA | | | | | | | |
| Tipo diaframma | | | A SBALZO | | | | | | |
| Moto di filtrazione | | | ASSENTE | | | | | | |
| Tipo di paratia | | | PALI IN C.A. | | | | | | |
| Tipo verifica sezioni | | | D.M. 2018 | | | | | | |
| Numero Condizioni di Carico | | | 2 | | | | | | |
| Numero Fasi di calcolo | | | 11 | | | | | | |
| Sbancamento Aggiuntivo Quota | | | | | 0,00 | | | | |
| Modellazione Molle con diagram | | | | | PLASTICO | | | | |
| COEFFICIE | ENTI PAR | | OTECN | | | | | | |
| | | TABELLA | | | BELLA M2 | | | | |
| Tangente Resist. Taglio | | | 1,00 | | 1,25 | | | | |
| Peso Specifico | | | 1,00 | | 1,00 | | | | |
| Coesione Efficace (c'k) | | | 1,00 | | | | | | |
| Resist. a taglio NON drenata (cu | ık) | | 1,00 | | 1,40 | | | | |

| DATI GENERALI DI CALCOLO E CARATTERISTICHE MATERIALI | | | | | | | | | |
|--|--------|--------|----------------------|----------------|----------|--|--|--|--|
| | CEMEN | TO AR | MATO PARATIE | | | | | | |
| Classe Calcestruzzo | C25/ | 30 | Classe Acciaio | B ₄ | 150C | | | | |
| Modulo Elastico CLS | 314758 | kg/cmq | Modulo Elastico Acc | 210000 | 0 kg/cmq | | | | |
| Coeff. di Poisson | 0,2 | | Tipo Armatura | SEN | ISIBILI | | | | |
| Resist.Car. CLS 'fck' | 250,0 | kg/cmq | Tipo Ambiente | ORDIN | ARIA XC1 | | | | |
| Resist. Calcolo 'fcd' | 141,0 | kg/cmq | Resist.Car.Acc 'fyk' | 4500,0 | kg/cmq | | | | |
| Tens. Max. CLS 'rcd' | 141,0 | kg/cmq | Tens. Rott.Acc 'ftk' | 4500,0 | kg/cmq | | | | |
| Def.Lim.El. CLS 'eco' | 0,20 | % | Resist. Calcolo'fyd' | 3913,0 | kg/cmq | | | | |
| Def.Lim.Ult CLS 'ecu' | 0,35 | % | Def.Lim.Ult.Acc'eyu' | 1,00 | % | | | | |
| Fessura Max.Comb.Rare | | mm | Sigma CLS Comb.Rare | 150,0 | kg/cmq | | | | |
| Fessura Max.Comb.Perm | 0,2 | mm | Sigma CLS Comb.Perm | 112,0 | kg/cmq | | | | |
| Fessura Max.Comb.Freq | 0,3 | mm | Sigma Acc Comb.Rare | 3600,0 | kg/cmq | | | | |
| Peso Spec.CLS Armato | 2500 | kg/mc | | | | | | | |

| DATI GENERALI DI CALCOLO E CARATTERISTICHE MATERIALI | | | | | | | | |
|--|-----|----|--|--|--|--|--|--|
| CEMENTO ARMATO PALI | | | | | | | | |
| Copriferro | 2,0 | cm | | | | | | |
| Passo minimo armatura staffe | 10 | cm | | | | | | |
| Passo massimo armatura staffe | 30 | cm | | | | | | |
| Step passo armatura staffe | 5 | cm | | | | | | |

Ing. Claudio Enzo PRESUTTI
SOFTWARE: C.D.B. - Computer Design of Bulkheads - Rel.2018 - Lic. Nro: 35767

| DATI GENERALI DI CALCOLO E CARATTERISTICHE MATERIALI | | | | | | | | |
|--|------------|--|--|--|--|--|--|--|
| CEMENTO ARMATO PALI | | | | | | | | |
| Diametro ferro staffe | 8 mm | | | | | | | |
| Tipo staffatura | Elicoidale | | | | | | | |
| Diametro ferro armatura longitudinale | 16 mm | | | | | | | |
| Numero minimo ferri per palo | 6 | | | | | | | |

| GEOMETRIA PARATIA | | | | | | | | | |
|--------------------------------------|----------------|--|--|--|--|--|--|--|--|
| GEOMETRIA DIAF | RAMMA | | | | | | | | |
| Diametro pali [m] | 0,30 | | | | | | | | |
| Interasse pali [m] | 0,50 | | | | | | | | |
| Modulo elastico pali [kg/cmq] | 30000,00 | | | | | | | | |
| Quota estradosso terrapieno [m] | 0,00 | | | | | | | | |
| Spessore terrapieno [m] | 2,00 | | | | | | | | |
| Profondita' di infissione [m] | 3,00 | | | | | | | | |
| Quota falda di monte [m] | 10,00 | | | | | | | | |
| Quota falda di valle [m] | 10,00 | | | | | | | | |
| Inclinazione terrapieno di monte [°] | 0,00 | | | | | | | | |
| Inclinazione terrapieno di valle [°] | 0,00 | | | | | | | | |
| Distanza terrapieno orizzontale [m] | 0,00 | | | | | | | | |
| Passo di discretizzazione [m] | 0,50 | | | | | | | | |
| Rigidezza alla trasl. orizz. [t/m] | 0,00 | | | | | | | | |
| Rigidezza alla rotazione [t] | 0,00 | | | | | | | | |
| Numero file pali | 1 | | | | | | | | |
| Tipo sfalsamento pali | Pali Allineati | | | | | | | | |
| Interasse file [m] | 1,00 | | | | | | | | |
| Aggetto minimo [m] | 0,00 | | | | | | | | |

| GEOMETRIA PARATIA | | | | | | | | | | |
|------------------------|-----------|----------------|------|--|--|--|--|--|--|--|
| | CORDOLO D | I TESTA IN C.L | S. | | | | | | | |
| Aggetto lato valle [m] | | | 0,30 | | | | | | | |
| Aggetto lato monte [m] | | | 0,10 | | | | | | | |
| Altezza [m] | | | 0,40 | | | | | | | |

| | STRATIGRAFIA | | | | | | | | | | |
|--------|--------------|--------|---------|----------|-----------|------------|------------|----------|-------------|--|--|
| | STRATIGRAFIA | | | | | | | | | | |
| Strato | Spess. | Coes. | Rapp. | Ang.attr | Peso spec | Peso effic | Attr. | Kw Orizz | Descrizione | | |
| N.ro | m | kg/cmq | ader/co | Grd | kg/mc | kg/mc | terra-muro | kg/cmc | | | |
| 1 | 20,00 | 0,000 | 0,500 | 28,00 | 1800 | 800 | 20,00 | BOWELS | | | |

| SOVRACCARICHI - CONDIZIONE DI CARICO N.ro: 1 | |
|---|-------|
| SOVRACCARICHI | |
| Sovraccarico uniform. distrib. sul terrapieno [kg/mq]: | 0,00 |
| Distanza del sovraccarico distrib. dalla paratia [m]: | 0,00 |
| Distanza verticale del carico dal piano di campagna [m]: | 0,00 |
| Sovraccarico lineare sul terrapieno [kg/m]: | 0,00 |
| Distanza del sovraccarico lineare dalla paratia [m]: | 0,00 |
| Distanza verticale del carico dal piano di campagna [m]: | 0,00 |
| Forza verticale concentrata sulla paratia [kg]: | 750 |
| Eccentricita' forza verticale dalla mezzeria paratia [m]: | -0,30 |
| Forza orizzontale concentrata sulla paratia [kg]: | 0 |
| Sovraccarico uniform. distrib. terrap. valle [kg/mq]: | 0,00 |

SOVRACCARICHI - CONDIZIONE DI CARICO N.ro: 2

| SOVRACCARICHI | | | | | | | |
|---|---------|--|--|--|--|--|--|
| Sovraccarico uniform. distrib. sul terrapieno [kg/mq]: | 1000,00 | | | | | | |
| Distanza del sovraccarico distrib. dalla paratia [m]: | 0,00 | | | | | | |
| Distanza verticale del carico dal piano di campagna [m]: | 0,00 | | | | | | |
| Sovraccarico lineare sul terrapieno [kg/m]: | 0,00 | | | | | | |
| Distanza del sovraccarico lineare dalla paratia [m]: | 0,00 | | | | | | |
| Distanza verticale del carico dal piano di campagna [m]: | 0,00 | | | | | | |
| Forza verticale concentrata sulla paratia [kg]: | 750 | | | | | | |
| Eccentricita' forza verticale dalla mezzeria paratia [m]: | -0,30 | | | | | | |
| Forza orizzontale concentrata sulla paratia [kg]: | 0 | | | | | | |
| Sovraccarico uniform. distrib. terrap. valle [kg/mq]: | 0,00 | | | | | | |

COMBINAZIONI CARICHI

| Cond. | Descrizione |
|-------|--------------------|
| Num. | Condizione |
| 1 | PERMANENTE |
| 2 | Traffico Veicolare |

| | COMBINAZIONI CARICHI | | | | | | | | | | | |
|------|-----------------------------------|--------|--------|--------|--------|--------|--------|--------|--------|--------|-------|--|
| | COMBINAZIONI DI CARICO S.L.U. M 1 | | | | | | | | | | | |
| Comb | Cond.1 | Cond.2 | Cond.3 | Cond.4 | Cond.5 | Cond.6 | Cond.7 | Cond.8 | Cond.9 | Cond10 | Sisma | |
| 1 | 1,50 | 0,00 | | | | | | | | | 0,00 | |
| 2 | 1,50 | 1,50 | | | | | | | | | 0,00 | |
| 3 | 1,00 | 1,00 | | | | | | | | | 1,00 | |

| | COMBINAZIONI CARICHI | | | | | | | | | | |
|------|-----------------------------------|--------|--------|--------|--------|--------|--------|--------|--------|--------|-------|
| | COMBINAZIONI DI CARICO S.L.U. M 2 | | | | | | | | | | |
| Comb | Cond.1 | Cond.2 | Cond.3 | Cond.4 | Cond.5 | Cond.6 | Cond.7 | Cond.8 | Cond.9 | Cond10 | Sisma |
| 1 | 1,30 | 0,00 | | | | | | | | | 0,00 |
| 2 | 1,30 | 1,30 | | | | | | | | | 0,00 |
| 3 | 1,00 | 1,00 | | | | | | | | | 1,00 |

| | COMBINAZIONI CARICHI | | | | | | | | | | |
|------|----------------------|--------|--------|--------|--------|--------|----------|--------|--------|--------|-------|
| | | | COMBI | NAZIO | NI DI | CARIO | CO S.L.E | E. RAR | A | | |
| Comb | Cond.1 | Cond.2 | Cond.3 | Cond.4 | Cond.5 | Cond.6 | Cond.7 | Cond.8 | Cond.9 | Cond10 | Sisma |
| 1 | 1,00 | 0,00 | | • | | • | | | | | |
| 2 | 1,00 | 1,00 | | | | | | | | | |

| | COMBINAZIONI CARICHI | | | | | | | | | | |
|------|----------------------|--------|--------|--------|--------|--------|---------|--------|------------|--------|-------|
| | | | COMBI | NAZIO | NI DI | CARIC | O S.L.E | . FRE | Q . | | |
| Comb | Cond.1 | Cond.2 | Cond.3 | Cond.4 | Cond.5 | Cond.6 | Cond.7 | Cond.8 | Cond.9 | Cond10 | Sisma |
| 1 | 1,00 | 1,00 | | | | | | | | | |
| 2 | 1,00 | 1,00 | | | | | | | | | |

| | COMBINAZIONI CARICHI | | | | | | | | | | |
|------|-------------------------------------|--------|--------|--------|--------|--------|--------|--------|--------|--------|-------|
| | COMBINAZIONI DI CARICO S.L.E. PERM. | | | | | | | | | | |
| Comb | Cond.1 | Cond.2 | Cond.3 | Cond.4 | Cond.5 | Cond.6 | Cond.7 | Cond.8 | Cond.9 | Cond10 | Sisma |
| 1 | 1,00 | 1,00 | | | | | | | | | |

| | COMBINAZIONI CARICHI | | | | | | | | | | |
|------|--|--------|--------|--------|--------|--------|--------|--------|--------|--------|-------|
| | COMBINAZIONI DI CARICO S.L.U. FASI COSTRUTTIVE | | | | | | | | | | |
| Comb | Cond.1 | Cond.2 | Cond.3 | Cond.4 | Cond.5 | Cond.6 | Cond.7 | Cond.8 | Cond.9 | Cond10 | Sisma |
| 1 | 1,40 | 0,00 | | | | | | | | | |

COEFFICENTI DI SPINTA

| | | T. | ABELLA 'A | \1 ' | T. | ABELLA 'A | \ 2' |
|------|-------|---------|-----------|-------------|---------|-----------|-------------|
| N.ro | Quota | Ka | Kas | Кр | Ka | Kas | Kp |
| | m | | | | | | |
| 1 | 0,50 | 0,32033 | 0,15361 | 5,43565 | 0,38334 | 0,18179 | 4,13569 |
| 2 | 1,00 | 0,32033 | 0,15361 | 5,43565 | 0,38334 | 0,18179 | 4,13569 |
| 3 | 1,50 | 0,32033 | 0,15361 | 5,43565 | 0,38334 | 0,18179 | 4,13569 |
| 4 | 2,00 | 0,32033 | 0,15361 | 5,43565 | 0,38334 | 0,18179 | 4,13569 |
| 5 | 2,50 | | | 5,43565 | | | 4,13569 |
| 6 | 3,00 | | | 5,43565 | | | 4,13569 |
| 7 | 3,50 | | | 5,43565 | | | 4,13569 |
| 8 | 4,00 | | | 5,43565 | | | 4,13569 |
| 9 | 4,50 | | | 5,43565 | | | 4,13569 |
| 10 | 5,00 | | | 5,43565 | | | 4,13569 |

PRESSIONI ORIZZONTALI - CONDIZIONE N.ro: 1

| | | TABEL | L A 'A1' | TABEL | L A 'A2' |
|------|-------|-------|----------|-------|----------|
| N.ro | Quota | Pq | PI | Pq | Pl |
| | m | Kg/m | Kg/m | Kg/m | Kg/m |
| 1 | 0,50 | 0 | 0 | 0 | 0 |
| 2 | 1,00 | 0 | 0 | 0 | 0 |
| 3 | 1,50 | 0 | 0 | 0 | 0 |
| 4 | 2,00 | 0 | 0 | 0 | 0 |

PRESSIONI ORIZZONTALI - CONDIZIONE N.ro: 2

| | | TABEL | L A 'A1' | TABEL | L A 'A2' |
|------|-------|-------|----------|-------|----------|
| N.ro | Quota | Pq | PI | Pq | PI |
| | m | Kg/m | Kg/m | Kg/m | Kg/m |
| 1 | 0,50 | 320 | 0 | 383 | 0 |
| 2 | 1,00 | 320 | 0 | 383 | 0 |
| 3 | 1,50 | 320 | 0 | 383 | 0 |
| 4 | 2,00 | 320 | 0 | 383 | 0 |

| | | | | | PRESSI | ONI ORIZZONT | ALI | | | | |
|------|------------|-------------|------------|--------------|------------|--------------|------------|-------------|-------------|--------------|--------------|
| | | TABEL | LA 'A1' | T. | ABELLA 'A | \2' | | | | | |
| N.ro | Quota m | Pa Kg/m | Pc Kg/m | Pa Kg/m | Pc Kg/m | Ps Kg/m | Pn Kg/m | Pwm Kg/m | Pwv Kg/m | Pwms Kg/m | Pwvs Kg/m |
| 1 | 0,50 | 0 288 | 0 | 0 345 | 0 | 0 164 | 66 | 0 | 0 | 0 | C |
| 2 | 1,00 | 288 577 | 0 | 345 690 | 0 | 164 327 | 66 | 0 | 0 | 0 | (|
| 3 | 1,50 | 577 865 | 0 | 690 1035 | 0 | 327 491 | 66 | 0 | 0 | 0 | (|
| 4 | 2,00 | 865 1153 | 0 | 1035 1380 | 0 | 491 654 | 66 | 0 | 0 | 0 | (|

| | | PRESS | IONI RISULTAN | TI E SOLLECITAZI | ONI | |
|------|-------|-------|---------------|------------------|-------|------|
| N.ro | Quota | Pr | Pv | Mf | N | Tg |
| | m | Kg/m | Kg/m | Kg⋅m/m | Kg/m | Kg/m |
| | | 0 | 0 | -338 | | 0 |
| 1 | 0,50 | 432 | -157 | -365 | -1342 | 108 |
| | | | | | | |
| | | 432 | -157 | | | 108 |
| 2 | 1,00 | 865 | -315 | -500 | -1636 | 432 |
| | | | | | | |
| | | 865 | -315 | | | 432 |
| 3 | 1,50 | 1297 | -472 | -851 | -2010 | 973 |

| | PRESS. | RISULTANTI + | SOLLECITAZIO | NI - SLU M1 - CON | IBINAZIONE N.r | o: 1 |
|------|--------|--------------|---------------|-------------------|----------------|------|
| | | PRESS | IONI RISULTAN | ΓΙ E SOLLECITAΖΙ | ONI | |
| N.ro | Quota | Pr | Pv | Mf | Ν | Tg |
| | m | Kg/m | Kg/m | Kg⋅m/m | Kg/m | Kg/m |
| | | | | | | |
| | | 1297 | -472 | | | 973 |
| 4 | 2,00 | 641 | -233 | -1527 | -2363 | 1730 |
| | | | | | | |
| | | -1089 | 1310 | | | 1730 |
| 5 | 2,50 | -2021 | 1638 | -2119 | -1803 | 825 |
| | | | | | | |
| | | -2021 | 1638 | | | 825 |
| 6 | 3,00 | -1866 | 1965 | -2207 | -1079 | -207 |
| | | | | | | |

-1828

-1149

-403

0

-207

-1018

-1018

-1418

-1418

-1167

-1167

0

-191

0

0

0

1965

2293

2293

2621

2621

2948

2948

3276

-1866

-1196

-1196

-273

-273

1376

1376

3221

7

8

9

10

3,50

4,00

4,50

5,00

PRESS. RISULTANTI + SOLLECITAZIONI - SLU M1 - COMBINAZIONE N.ro: 1

| | CA | RATTERIS | TICHE DELLA SOL | LECITAZIONE S | SUL PALO |
|---|------|----------|-----------------|---------------|----------|
| | N.ro | Quota | Mf | N | Tg |
| | | m | Kg⋅m | Kg | Kg |
| | 1 | 0,50 | -182 | -671 | 54 |
| | | | | | |
| | 2 | 1,00 | -250 | -818 | 216 |
| | | | | | |
| | 3 | 1,50 | -426 | -1005 | 487 |
| | | | | | |
| | 4 | 2,00 | -763 | -1181 | 865 |
| | | | | | |
| | 5 | 2,50 | -1060 | -901 | 413 |
| | | 0.00 | 4400 | | 400 |
| | 6 | 3,00 | -1103 | -539 | -103 |
| | | 0.50 | 04.4 | 0.5 | 500 |
| | 7 | 3,50 | -914 | -95 | -509 |
| _ | | 4.00 | F7F | | 700 |
| | 8 | 4,00 | -575 | 0 | -709 |
| | 9 | 4.50 | 201 | 0 | E02 |
| | Э | 4,50 | -201 | 0 | -583 |
| | 10 | 5.00 | 0 | 0 | 0 |
| | 10 | 5,00 | 0 | 0 | 0 |
| | | | | | |

| | | PRESSI | IONI RISULTAN | TI E SOLLECITAZIO | ONI | |
|------|------------|----------------|---------------|-------------------|-----------|----------------|
| N.ro | Quota m | Pr Kg/m | Pv Kg/m | Mf Kg⋅m/m | N Kg/m | Tg Kg/m |
| 1 | 0,50 | 480 913 | -175 -332 | -675 -762 | -2554 | 0 348 |
| 2 | 1,00 | 913 1345 | -332 -490 | -1077 | -2936 | 348 913 |
| 3 | 1,50 | 1345 1778 | -490 -647 | -1729 | -3397 | 913 1694 |
| 4 | 2,00 | 1778 987 | -647 -359 | -2825 | -3825 | 1694 2691 |
| 5 | 2,50 | -1224 -3572 | 1310 1638 | -3865 | -3265 | 2691 1467 |
| 6 | 3,00 | -3572 -3366 | 1638 1965 | -4011 | -2541 | 1467 -395 |
| 7 | 3,50 | -3366 -2152 | 1965 2293 | -3316 | -1653 | -395 -1857 |
| 8 | 4,00 | -2152 -483 | 2293 2621 | -2083 | -601 | -1857 -2575 |
| 9 | 4,50 | -483 2501 | 2621 2948 | -729 | 0 | -2575 -2115 |
| 10 | 5,00 | 2501 5829 | 2948 3276 | 0 | 0 | -2115 0 |

| CARATTERISTICHE DELLA SOLLECITAZIONE SUL PALO | | | | | |
|---|-------|-------|-------|-------|--|
| N.ro | Quota | Mf | N | Tg | |
| | m | Kg⋅m | Kg | Kg | |
| 1 | 0,50 | -381 | -1277 | 174 | |
| | | | | | |
| 2 | 1,00 | -539 | -1468 | 456 | |
| | | | | | |
| 3 | 1,50 | -865 | -1699 | 847 | |
| | | | | | |
| 4 | 2,00 | -1413 | -1913 | 1345 | |
| | | | | | |
| 5 | 2,50 | -1932 | -1633 | 734 | |
| | | | | | |
| 6 | 3,00 | -2006 | -1271 | -198 | |
| | | | | | |
| 7 | 3,50 | -1658 | -827 | -928 | |
| | | | | | |
| 8 | 4,00 | -1041 | -301 | -1287 | |
| | | | | | |

PRESS. RISULTANTI + SOLLECITAZIONI - SLU M1 - COMBINAZIONE N.ro: 2

| CAI | CARATTERISTICHE DELLA SOLLECITAZIONE SUL PALO | | | | | | | |
|------|---|------|----|-------|--|--|--|--|
| N.ro | Quota | Mf | N | Tg | | | | |
| | m | Kg⋅m | Kg | Kg | | | | |
| 9 | 4,50 | -364 | 0 | -1057 | | | | |
| | | | | | | | | |
| 10 | 5,00 | 0 | 0 | 0 | | | | |
| | | | | | | | | |

| PRESS. RISULTANTI - | SOLI FOITAZIONI | - SLILM1 - CC | OMBINAZIONE N ro. 3 |
|---------------------|---------------------|---------------|---------------------|
| I INCOOLIMITI | F JOLLLOI I ALIOINI | | |

| | PRESSIONI RISULTANTI E SOLLECITAZIONI | | | | | | | |
|------|---------------------------------------|----------------|--------------|--------------|-----------|----------------|--|--|
| N.ro | Quota m | Pr Kg/m | Pv Kg/m | Mf Kg⋅m/m | N Kg/m | Tg Kg/m | | |
| 1 | 0,50 | 387 813 | -141 -296 | -450 -666 | -1786 | 282 582 | | |
| 2 | 1,00 | 813 1240 | -296 -451 | -1085 | -2150 | 582 1095 | | |
| 3 | 1,50 | 1240 1666 | -451 -607 | -1814 | -2591 | 1095 1822 | | |
| 4 | 2,00 | 1666 1092 | -607 -397 | -2960 | -3019 | 1822 2761 | | |
| 5 | 2,50 | -1001 -3610 | 1310 1638 | -4091 | -2458 | 2761 1761 | | |
| 6 | 3,00 | -3610 -3770 | 1638 1965 | -4318 | -1734 | 1761 -315 | | |
| 7 | 3,50 | -3770 -2444 | 1965 2293 | -3604 | -846 | -315 -1959 | | |
| 8 | 4,00 | -2444 -597 | 2293 2621 | -2278 | 0 | -1959 -2785 | | |
| 9 | 4,50 | -597 2689 | 2621 2948 | -803 | 0 | -2785 -2312 | | |
| 10 | 5,00 | 2689 6423 | 2948 3276 | 0 | 0 | -2312 0 | | |

| CA | CARATTERISTICHE DELLA SOLLECITAZIONE SUL PALO | | | | | | |
|------|---|------|-------|-----|--|--|--|
| N.ro | Quota | Mf | N | Tg | | | |
| | m | Kg⋅m | Kg | Kg | | | |
| 1 | 0,50 | -333 | -893 | 291 | | | |
| | | | | | | | |
| 2 | 1,00 | -543 | -1075 | 548 | | | |
| | | | | | | | |
| 3 | 1,50 | -907 | -1295 | 911 | | | |
| | • | | • | | | | |

PRESS. RISULTANTI + SOLLECITAZIONI - SLU M1 - COMBINAZIONE N.ro: 3

| CARATTERISTICHE DELLA SOLLECITAZIONE SUL PALO | | | | | | |
|---|------|-------|-------|-------|--|--|
| N.ro Quota | | Mf | N | Tg | | |
| | m | Kg⋅m | Kg | Kg | | |
| 4 | 2,00 | -1480 | -1509 | 1381 | | |
| | | | | | | |
| 5 | 2,50 | -2045 | -1229 | 880 | | |
| | | | | | | |
| 6 | 3,00 | -2159 | -867 | -158 | | |
| | | | | | | |
| 7 | 3,50 | -1802 | -423 | -979 | | |
| | | | | | | |
| 8 | 4,00 | -1139 | 0 | -1393 | | |
| | | | | | | |
| 9 | 4,50 | -401 | 0 | -1156 | | |
| | | | | | | |
| 10 | 5,00 | 0 | 0 | 0 | | |
| | | | | | | |

| N.ro Quota m Pr Kg/m Pv Kg/m Mf Kg-m/m Kg/m N Kg/m Kg/m Tg Kg/m 1 0,50 449 -163 -293 -1193 112 2 1,00 897 -326 -461 -1492 449 3 1,50 1346 -490 -825 -1873 1009 4 2,00 863 -314 -1526 -2251 1794 5 2,50 -2171 1638 -2190 -1690 942 6 3,00 -2018 1965 -2312 -966 -169 7 3,50 -1308 2293 -1929 -78 -1049 8 4,00 -319 2621 -1219 0 -1491 9 4,50 1439 2948 -430 0 -1238 10 5,00 3438 3276 0 0 0 -1238 | | PRESSIONI RISULTANTI E SOLLECITAZIONI | | | | | | |
|--|------|---------------------------------------|-------|------|--------|-------|-------|--|
| 1 0,50 449 -163 -293 -1193 0 2 1,00 897 -326 -461 -1492 449 3 1,50 1346 -490 -825 -1873 1009 4 2,00 863 -314 -1526 -2251 1009 4 2,00 863 -314 -1526 -2251 1794 5 2,50 -2171 1638 -2190 -1690 942 6 3,00 -2018 1965 -2312 -966 -169 7 3,50 -1308 2293 -1929 -78 -1049 8 4,00 -319 2621 -1219 0 -1491 9 4,50 1439 2948 -430 0 -1238 | N.ro | Quota | Pr | Pv | Mf | Ν | | |
| 1 0,50 449 -163 -321 -1193 112 2 1,00 897 -326 -461 -1492 449 3 1,50 897 -326 -461 -1492 449 3 1,50 1346 -490 -825 -1873 1009 4 2,00 863 -314 -1526 -2251 1794 5 2,50 -931 1310 -1526 -2251 1794 5 2,50 -2171 1638 -2190 -1690 942 6 3,00 -2018 1965 -2312 -966 -169 7 3,50 -1308 2293 -1929 -78 -169 8 4,00 -319 2621 -1219 0 -1491 9 4,50 1439 2948 -430 0 -1238 1439 2948 -430 0 -1238 | | m | Kg/m | Kg/m | Kg⋅m/m | Kg/m | Kg/m | |
| 2 1,00 897 -163 -461 -1492 112 3 1,50 897 -326 -490 -825 -1873 1009 4 2,00 863 -314 -1526 -2251 1794 5 2,50 -931 1310 -2190 -1690 942 6 3,00 -2171 1638 -2190 -1690 942 6 3,00 -2018 1965 -2312 -966 -169 7 3,50 -2018 1965 -2312 -966 -169 8 4,00 -319 2621 -1219 0 -1491 9 4,50 1439 2948 -430 0 -1238 1439 2948 -430 0 -1238 | | | 0 | 0 | -293 | | 0 | |
| 2 1,00 897 -326 -461 -1492 449 3 1,50 1346 -490 -825 -1873 1009 4 2,00 863 -314 -1526 -2251 1794 5 2,50 -931 1310 -2190 -1690 942 6 3,00 -2171 1638 -2190 -1690 942 6 3,00 -2018 1965 -2312 -966 -169 7 3,50 -1308 2293 -1929 -78 -1049 8 4,00 -319 2621 -1219 0 -1491 9 4,50 1439 2948 -430 0 -1238 1439 2948 -430 0 -1238 | 1 | 0,50 | 449 | -163 | -321 | -1193 | 112 | |
| 2 1,00 897 -326 -461 -1492 449 3 1,50 1346 -490 -825 -1873 1009 4 2,00 863 -314 -1526 -2251 1794 5 2,50 -931 1310 -2190 -1690 942 6 3,00 -2171 1638 -2190 -1690 942 6 3,00 -2018 1965 -2312 -966 -169 7 3,50 -1308 2293 -1929 -78 -1049 8 4,00 -319 2621 -1219 0 -1491 9 4,50 1439 2948 -430 0 -1238 1439 2948 -430 0 -1238 | | | | | | | | |
| 3 1,50 1346 -326 -490 -825 -1873 449 4 2,00 863 -314 -1526 -2251 1009 5 2,50 -931 1310 -2190 -1690 942 6 3,00 -2171 1638 -2190 -1690 942 7 3,50 -2018 1965 -2312 -966 -169 7 3,50 -1308 2293 -1929 -78 -1049 8 4,00 -319 2621 -1219 0 -1491 9 4,50 1439 2948 -430 0 -1238 1439 2948 -430 0 -1238 | | | | | | | | |
| 3 1,50 1346 -490 -825 -1873 1009 4 2,00 863 -314 -1526 -2251 1009 5 2,50 -931 1310 -2190 -1690 942 6 3,00 -2171 1638 -2190 -1690 942 7 3,50 -2018 1965 -2312 -966 -169 7 3,50 -1308 2293 -1929 -78 -1049 8 4,00 -319 2621 -1219 0 -1491 9 4,50 1439 2948 -430 0 -1238 1439 2948 -430 0 -1238 | 2 | 1,00 | 897 | -326 | -461 | -1492 | 449 | |
| 3 1,50 1346 -490 -825 -1873 1009 4 2,00 863 -314 -1526 -2251 1009 5 2,50 -931 1310 -2190 -1690 942 6 3,00 -2171 1638 -2190 -1690 942 7 3,50 -2018 1965 -2312 -966 -169 7 3,50 -1308 2293 -1929 -78 -1049 8 4,00 -319 2621 -1219 0 -1491 9 4,50 1439 2948 -430 0 -1238 1439 2948 -430 0 -1238 | | | | | | | | |
| 4 2,00 1346 863 -490 863 -314 -1526 -2251 1009 1794 5 2,50 -2171 1638 -2190 -1690 942 6 3,00 -2171 1638 1965 -2312 -966 -169 7 3,50 -2018 1965 2293 -1929 -78 -1049 8 4,00 -319 2621 -1219 0 -1491 0 -1491 9 4,50 1439 2948 -430 0 -1238 0 -1238 | | | | | | | | |
| 4 2,00 863 -314 -1526 -2251 1794 5 2,50 -2171 1638 -2190 -1690 942 6 3,00 -2171 1638 -2312 -966 -169 7 3,50 -2018 1965 -2312 -966 -169 7 3,50 -1308 2293 -1929 -78 -1049 8 4,00 -319 2621 -1219 0 -1491 9 4,50 1439 2948 -430 0 -1238 1439 2948 -1238 -1238 | 3 | 1,50 | 1346 | -490 | -825 | -1873 | 1009 | |
| 4 2,00 863 -314 -1526 -2251 1794 5 2,50 -2171 1638 -2190 -1690 942 6 3,00 -2171 1638 -2312 -966 -169 7 3,50 -2018 1965 -2312 -966 -169 7 3,50 -1308 2293 -1929 -78 -1049 8 4,00 -319 2621 -1219 0 -1491 9 4,50 1439 2948 -430 0 -1238 1439 2948 -1238 -1238 | | | | | | | | |
| 5 2,50 -931 | | | 1346 | -490 | | | 1009 | |
| 5 2,50 -2171 1638 -2190 -1690 942 6 3,00 -2171 1638 942 6 3,00 -2018 1965 -2312 -966 -169 7 3,50 -2018 1965 -1929 -78 -1049 8 4,00 -319 2621 -1219 0 -1491 9 4,50 1439 2948 -430 0 -1238 1439 2948 -1238 | 4 | 2,00 | 863 | -314 | -1526 | -2251 | 1794 | |
| 5 2,50 -2171 1638 -2190 -1690 942 6 3,00 -2171 1638 942 6 3,00 -2018 1965 -2312 -966 -169 7 3,50 -2018 1965 -1929 -78 -169 8 4,00 -1308 2293 -1929 -78 -1049 8 4,00 -319 2621 -1219 0 -1491 9 4,50 1439 2948 -430 0 -1238 | | | | | | | | |
| 6 3,00 -2171 1638 1965 -2312 -966 -169 7 3,50 -2018 1965 1965 -1929 -78 -1049 8 4,00 -319 2621 -1219 0 -1491 9 4,50 1439 2948 -430 0 -1238 | | | -931 | 1310 | | | 1794 | |
| 6 3,00 -2018 1965 -2312 -966 -169 7 3,50 -1308 2293 -1929 -78 -1049 8 4,00 -319 2621 -1219 0 -1491 9 4,50 1439 2948 -430 0 -1238 1439 2948 -1238 -1238 | 5 | 2,50 | -2171 | 1638 | -2190 | -1690 | 942 | |
| 6 3,00 -2018 1965 -2312 -966 -169 7 3,50 -1308 2293 -1929 -78 -1049 8 4,00 -319 2621 -1219 0 -1491 9 4,50 1439 2948 -430 0 -1238 1439 2948 -1238 -1238 | | | | | | | | |
| 7 3,50 -2018 1965 -1929 -78 -1049 8 4,00 -319 2621 -1219 0 -1491 9 4,50 1439 2948 -430 0 -1238 | | | -2171 | 1638 | | | 942 | |
| 7 3,50 -1308 2293 -1929 -78 -1049 8 4,00 -319 2621 -1219 0 -1491 9 4,50 1439 2948 -430 0 -1238 1439 2948 -1238 | 6 | 3,00 | -2018 | 1965 | -2312 | -966 | -169 | |
| 7 3,50 -1308 2293 -1929 -78 -1049 8 4,00 -319 2621 -1219 0 -1491 9 4,50 1439 2948 -430 0 -1238 1439 2948 -1238 | | | | | | | | |
| 8 4,00 -319 2621 -1219 0 -1491 9 4,50 1439 2948 -430 0 -1238 | | | -2018 | 1965 | | | -169 | |
| 8 4,00 -319 2621 -1219 0 -1491 9 4,50 1439 2948 -430 0 -1238 1439 2948 -1238 | 7 | 3,50 | -1308 | 2293 | -1929 | -78 | -1049 | |
| 8 4,00 -319 2621 -1219 0 -1491 9 4,50 1439 2948 -430 0 -1238 1439 2948 -1238 | | | | | | | | |
| 9 4,50 1439 2948 -430 0 -1238 1439 2948 -430 -1238 | | | -1308 | 2293 | | | -1049 | |
| 9 4,50 1439 2948 -430 0 -1238 1439 2948 -430 -1238 | 8 | 4,00 | -319 | 2621 | -1219 | 0 | -1491 | |
| 9 4,50 1439 2948 -430 0 -1238 1439 2948 -430 -1238 | | | | | | | | |
| 1439 2948 -1238 | | | -319 | 2621 | | | -1491 | |
| | 9 | 4,50 | 1439 | 2948 | -430 | 0 | -1238 | |
| | | | | | | | | |
| 10 5,00 3438 3276 0 0 | | | 1439 | 2948 | | | -1238 | |
| | 10 | 5,00 | 3438 | 3276 | 0 | 0 | 0 | |
| | | | | | | | | |

PRESS. RISULTANTI + SOLLECITAZIONI - SLU M2 - COMBINAZIONE N.ro: 1

| CARATTERISTICHE DELLA SOLLECITAZIONE SUL PALO | | | | | | |
|---|-------|-------|----------|------|--|--|
| N.ro | Quota | Mf | N | Tg | | |
| | m | Kg⋅m | Kg | Kg | | |
| 1 | 0,50 | -160 | -597 | 56 | | |
| | | | | | | |
| 2 | 1,00 | -230 | -746 | 224 | | |
| | ı | | | | | |
| 3 | 1,50 | -413 | -936 | 505 | | |
| _ | | | | | | |
| 4 | 2,00 | -763 | -1125 | 897 | | |
| _ | | 100= | | | | |
| 5 | 2,50 | -1095 | -845 | 471 | | |
| 0 | 0.00 | 4450 | 400 | 0.5 | | |
| 6 | 3,00 | -1156 | -483 | -85 | | |
| 7 | 2.50 | 065 | -39 | F24 | | |
| / | 3,50 | -965 | -39 | -524 | | |
| 8 | 4,00 | -610 | 0 | -745 | | |
| 0 | 4,00 | -010 | U | -743 | | |
| 9 | 4,50 | -215 | 0 | -619 | | |
| | 1,00 | 210 | 5 | 010 | | |
| 10 | 5,00 | 0 | 0 | 0 | | |
| . • | -,•• | | | | | |

| | PRESSIONI RISULTANTI E SOLLECITAZIONI | | | | | | |
|------|---------------------------------------|-------|------|--------|-------|-------|--|
| N.ro | Quota | Pr | Pv | Mf | Ν | Tg | |
| | m | Kg/m | Kg/m | Kg⋅m/m | Kg/m | Kg/m | |
| | | 498 | -181 | -585 | | 0 | |
| 1 | 0,50 | 947 | -345 | -675 | -2259 | 361 | |
| | | | | | | | |
| | | 947 | -345 | | | 361 | |
| 2 | 1,00 | 1395 | -508 | -1002 | -2649 | 947 | |
| | | | | | | | |
| | | 1395 | -508 | | | 947 | |
| 3 | 1,50 | 1844 | -671 | -1678 | -3120 | 1757 | |
| | | | | | | | |
| | | 1844 | -671 | | | 1757 | |
| 4 | 2,00 | 1361 | -495 | -2815 | -3588 | 2791 | |
| | | | | | | | |
| | | -932 | 1310 | | | 2791 | |
| 5 | 2,50 | -3557 | 1638 | -3978 | -3028 | 1859 | |
| | | | | | | | |
| | | -3557 | 1638 | | | 1859 | |
| 6 | 3,00 | -3813 | 1965 | -4251 | -2304 | -233 | |
| | | | | | | | |
| | | -3813 | 1965 | | | -233 | |
| 7 | 3,50 | -2494 | 2293 | -3571 | -1416 | -1900 | |
| | | | | | | | |
| | | -2494 | 2293 | | | -1900 | |
| 8 | 4,00 | -642 | 2621 | -2267 | -364 | -2751 | |
| | | | | | | | |
| | | -642 | 2621 | | | -2751 | |

Ing. Claudio Enzo PRESUTTI
SOFTWARE: C.D.B. - Computer Design of Bulkheads - Rel.2018 - Lic. Nro: 35767

| | PRESS. RISULTANTI + SOLLECITAZIONI - SLU M2 - COMBINAZIONE N.ro: 2 | | | | | | | | |
|-----------------------|--|------|------|------|--------|------|-------|--|--|
| | PRESSIONI RISULTANTI E SOLLECITAZIONI | | | | | | | | |
| N.ro Quota Pr Pv Mf N | | | | | | Tg | | | |
| | | m | Kg/m | Kg/m | Kg⋅m/m | Kg/m | Kg/m | | |
| | 9 | 4,50 | 2644 | 2948 | -803 | 0 | -2301 | | |
| | | | | | | | | | |
| | | | 2644 | 2948 | | | -2301 | | |
| | 10 | 5,00 | 6425 | 3276 | 0 | 0 | 0 | | |
| | | | | | | | | | |

PRESS. RISULTANTI + SOLLECITAZIONI - SLU M2 - COMBINAZIONE N.ro: 2

| CARATTERISTICHE DELLA SOLLECITAZIONE SUL PALO | | | | | | |
|---|-------|-------|-------|-------|--|--|
| N.ro | Quota | Mf | N | Tg | | |
| | m | Kg⋅m | Kg | Kg | | |
| 1 | 0,50 | -338 | -1129 | 181 | | |
| _ | | | | | | |
| 2 | 1,00 | -501 | -1324 | 473 | | |
| | | | | | | |
| 3 | 1,50 | -839 | -1560 | 878 | | |
| 4 | 0.00 | 1 100 | 1701 | 4005 | | |
| 4 | 2,00 | -1408 | -1794 | 1395 | | |
| _ | 0.50 | 4000 | 4544 | 000 | | |
| 5 | 2,50 | -1989 | -1514 | 930 | | |
| 6 | 3,00 | -2125 | -1152 | -117 | | |
| U | 3,00 | -2123 | -1132 | -117 | | |
| 7 | 3,50 | -1785 | -708 | -950 | | |
| , | 0,00 | 1100 | 700 | 000 | | |
| 8 | 4,00 | -1134 | -182 | -1375 | | |
| | , | _ | | | | |
| 9 | 4,50 | -402 | 0 | -1151 | | |
| | | | | | | |
| 10 | 5,00 | 0 | 0 | 0 | | |
| | | | | | | |

| N.ro Quota Pr Pv Mf N | Tg Kg/m |
|---|------------|
| | Ka/m |
| m Kg/m Kg/m Kg⋅m/m Kg/m | 139/111 |
| 450 -164 -450 | 282 |
| 1 0,50 958 -349 -679 -1805 | 634 |
| | |
| 958 -349 | 634 |
| 2 1,00 1467 -534 -1147 -2203 | 1240 |
| | |
| 1467 -534 | 1240 |
| 3 1,50 1976 -719 -1983 -2693 | 2101 |
| | |
| 1976 -719 | 2101 |
| 4 2,00 1746 -635 -3312 -3208 | 3216 |
| | |
| -738 1310 | 3216 |
| 5 2,50 -2947 1638 -4735 -2648 | 2478 |

| | PRESS. RISULTANTI + SOLLECITAZIONI - SLU M2 - COMBINAZIONE N.ro: 3 | | | | | | | | |
|---------------------------------------|--|-------|------|--------|-------|-------|--|--|--|
| PRESSIONI RISULTANTI E SOLLECITAZIONI | | | | | | | | | |
| N.ro | Quota | Pr | Pv | Mf | N | Tg | | | |
| | m | Kg/m | Kg/m | Kg⋅m/m | Kg/m | Kg/m | | | |
| | | | | | | | | | |
| | | -2947 | 1638 | | | 2478 | | | |
| 6 | 3,00 | -5524 | 1965 | -5422 | -1923 | 269 | | | |
| | | | | | | | | | |
| | | -5524 | 1965 | | | 269 | | | |
| 7 | 3,50 | -3831 | 2293 | -4727 | -1036 | -2219 | | | |
| | | | | | | | | | |
| | | -3831 | 2293 | | | -2219 | | | |
| 8 | 4,00 | -1214 | 2621 | -3075 | 0 | -3576 | | | |
| | | | | | | | | | |
| | | -1214 | 2621 | | | -3576 | | | |
| 9 | 4,50 | 3350 | 2948 | -1119 | 0 | -3118 | | | |
| | | | | | | | | | |
| | | 3350 | 2948 | | | -3118 | | | |
| 10 | 5,00 | 8949 | 3276 | 0 | 0 | 0 | | | |
| | | | | | | | | | |

| CARATTERISTICHE DELLA SOLLECITAZIONE SUL PALO | | | | | |
|---|---------|-------|-------|-------|--|
| N.ro Quota | | Mf | N | Tg | |
| | m | Kg⋅m | Kg | Kg | |
| 1 | 0,50 | -339 | -903 | 317 | |
| | | | | | |
| 2 | 1,00 | -574 | -1101 | 620 | |
| _ | | | | | |
| 3 | 1,50 | -991 | -1346 | 1050 | |
| 4 | 0.00 | 4050 | 1001 | 4000 | |
| 4 | 2,00 | -1656 | -1604 | 1608 | |
| | 0.50 | 0000 | 1001 | 4000 | |
| 5 | 2,50 | -2368 | -1324 | 1239 | |
| 6 | 2.00 | 0711 | 062 | 134 | |
| 6 | 3,00 | -2711 | -962 | 134 | |
| 7 | 3,50 | -2364 | -518 | -1110 | |
| , | 3,30 | -2304 | -310 | -1110 | |
| 8 | 4,00 | -1537 | 0 | -1788 | |
| | 1,00 | 1001 | | 1700 | |
| 9 | 4,50 | -559 | 0 | -1559 | |
| | , , , , | | - | | |
| 10 | 5,00 | 0 | 0 | 0 | |
| | | | | | |

| PRESS. RISULTANTI + SOLLECITAZIONI - COMBINAZIONE RARA N.ro: 1 | | | | | | | |
|--|-------|------|------|--------|------|------|--|
| PRESSIONI RISULTANTI E SOLLECITAZIONI | | | | | | | |
| N.ro | Quota | Pr | Pv | Mf | N | Tg | |
| | m | Kg/m | Kg/m | Kg⋅m/m | Kg/m | Kg/m | |
| | | 0 | 0 | -225 | | 0 | |
| 1 | 0,50 | 288 | -105 | -243 | -953 | 72 | |

| PRESS. RISULTANTI + SOLLECITAZIONI - COMBINAZIONE RARA N.ro: 1 | | | | | | | | | |
|--|-------|-------|------|--------|-------|------|--|--|--|
| PRESSIONI RISULTANTI E SOLLECITAZIONI | | | | | | | | | |
| N.ro | Quota | Pr | Pv | Mf | N | Tg | | | |
| | m | Kg/m | Kg/m | Kg⋅m/m | Kg/m | Kg/m | | | |
| | | 288 | -105 | | | 72 | | | |
| 2 | 1,00 | 577 | -210 | -333 | -1209 | 288 | | | |
| | | | | | | | | | |
| | | 577 | -210 | | | 288 | | | |
| 3 | 1,50 | 865 | -315 | -567 | -1517 | 649 | | | |
| | | | | | | | | | |
| | | 865 | -315 | | | 649 | | | |
| 4 | 2,00 | 427 | -156 | -1018 | -1811 | 1153 | | | |
| | | | | | | | | | |
| | | -726 | 1310 | | | 1153 | | | |
| 5 | 2,50 | -1347 | 1638 | -1413 | -1251 | 550 | | | |
| | | 1 | | | | | | | |
| | | -1347 | 1638 | | | 550 | | | |
| 6 | 3,00 | -1244 | 1965 | -1471 | -526 | -138 | | | |
| | | | | | | | | | |
| _ | | -1244 | 1965 | | _ | -138 | | | |
| 7 | 3,50 | -798 | 2293 | -1218 | 0 | -678 | | | |
| | | | | | | | | | |
| | 4.00 | -798 | 2293 | | • | -678 | | | |
| 8 | 4,00 | -182 | 2621 | -766 | 0 | -945 | | | |
| | | | | | | | | | |

| PRESS RISHII 1 | TANTI + SOLI FCITAZIONI | - COMBINAZIONE RARA N.ro: 1 | ı |
|------------------|-------------------------|-----------------------------|---|
| 1 1/L00. 1/100L1 | ANTI T SOLLLOI AZIONI | | |

-268

0

-945

-778

-778

0

0

0

2621

2948

2948

3276

-182

917

917

2148

4,50

5,00

9

10

| CARATTERISTICHE DELLA SOLLECITAZIONE SUL PALO | | | | | |
|---|-------|------|------|------|--|
| N.ro | Quota | Mf | N | Tg | |
| | m | Kg⋅m | Kg | Kg | |
| 1 | 0,50 | -122 | -477 | 36 | |
| | | | | | |
| 2 | 1,00 | -167 | -604 | 144 | |
| | T | | | | |
| 3 | 1,50 | -284 | -758 | 324 | |
| | T | | | | |
| 4 | 2,00 | -509 | -905 | 577 | |
| | T | | | | |
| 5 | 2,50 | -706 | -625 | 275 | |
| | | | | | |
| 6 | 3,00 | -736 | -263 | -69 | |
| | 0.50 | 000 | | 000 | |
| 7 | 3,50 | -609 | 0 | -339 | |
| | 4.00 | 000 | | 470 | |
| 8 | 4,00 | -383 | 0 | -473 | |
| | 4.50 | 404 | 0 | 200 | |
| 9 | 4,50 | -134 | 0 | -389 | |
| | | | | | |

PRESS. RISULTANTI + SOLLECITAZIONI - COMBINAZIONE RARA N.ro: 1

| CARATTERISTICHE DELLA SOLLECITAZIONE SUL PALO | | | | | | |
|---|---------------|------|----|----|--|--|
| N.ro | N.ro Quota Mf | | | Tg | | |
| | m | Kg⋅m | Kg | Kg | | |
| 10 | 5,00 | 0 | 0 | 0 | | |
| | | | | | | |

| PRESS RISHII TANTI. | SOLI FOITAZIONI . | COMBINAZIONE RARA N.ro: 2 | |
|---------------------|---------------------|-----------------------------|--|
| FINESS. NISULTANTI | F SULLLUII AZIUNI : | · COMBINAZIONE NANA N.IU. Z | |

| | PRESSIONI RISULTANTI E SOLLECITAZIONI | | | | | | | |
|------|---------------------------------------|----------------|--------------|--------------|-----------|----------------|--|--|
| N.ro | Quota m | Pr Kg/m | Pv Kg/m | Mf Kg⋅m/m | N Kg/m | Tg Kg/m | | |
| 1 | 0,50 | 320 609 | -117 -222 | -450 -508 | -1762 | 0 232 | | |
| 2 | 1,00 | 609 897 | -222 -326 | -718 | -2075 | 232 609 | | |
| 3 | 1,50 | 897 1185 | -326 -431 | -1153 | -2442 | 609 1129 | | |
| 4 | 2,00 | 1185 272 | -431 -99 | -1884 | -2751 | 1129 1794 | | |
| 5 | 2,50 | -1202 -2211 | 1310 1638 | -2480 | -2190 | 1794 799 | | |
| 6 | 3,00 | -2211 -2018 | 1638 1965 | -2524 | -1466 | 799 -325 | | |
| 7 | 3,50 | -2018 -1267 | 1965 2293 | -2063 | -578 | -325 -1196 | | |
| 8 | 4,00 | -1267 -251 | 2293 2621 | -1286 | 0 | -1196 -1611 | | |
| 9 | 4,50 | -251 1577 | 2621 2948 | -446 | 0 | -1611 -1306 | | |
| 10 | 5,00 | 1577 3566 | 2948 3276 | 0 | 0 | -1306 0 | | |

PRESS. RISULTANTI + SOLLECITAZIONI - COMBINAZIONE RARA N.ro: 2

| CARATTERISTICHE DELLA SOLLECITAZIONE SUL PALO | | | | | |
|---|-------|------|-------|-----|--|
| N.ro | Quota | Mf | N | Tg | |
| | m | Kg⋅m | Kg | Kg | |
| 1 | 0,50 | -254 | -881 | 116 | |
| | | | | | |
| 2 | 1,00 | -359 | -1038 | 304 | |
| | | | | | |
| 3 | 1,50 | -576 | -1221 | 565 | |
| | | | | | |
| 4 | 2,00 | -942 | -1375 | 897 | |
| | | | | | |

PRESS. RISULTANTI + SOLLECITAZIONI - COMBINAZIONE RARA N.ro: 2

| CARATTERISTICHE DELLA SOLLECITAZIONE SUL PALO | | | | | | |
|---|-------|-------|-------|------|--|--|
| N.ro | Quota | Mf | N | Tg | | |
| | m | Kg⋅m | Kg | Kg | | |
| 5 | 2,50 | -1240 | -1095 | 399 | | |
| | | | | | | |
| 6 | 3,00 | -1262 | -733 | -162 | | |
| | | | | | | |
| 7 | 3,50 | -1032 | -289 | -598 | | |
| | | | | | | |
| 8 | 4,00 | -643 | 0 | -805 | | |
| | | | | | | |
| 9 | 4,50 | -223 | 0 | -653 | | |
| | | | | | | |
| 10 | 5,00 | 0 | 0 | 0 | | |
| | | | | | | |

PRESS. RISULTANTI + SOLLECITAZIONI - COMBINAZIONE FREQUENTE N.ro: 1

| | PRESSIONI RISULTANTI E SOLLECITAZIONI | | | | | | |
|------|---------------------------------------|-------|------|--------|-------|-------|--|
| N.ro | Quota | Pr | Pv | Mf | N | Tg | |
| | m | Kg/m | Kg/m | Kg⋅m/m | Kg/m | Kg/m | |
| | | 320 | -117 | -450 | | 0 | |
| 1 | 0,50 | 609 | -222 | -508 | -1762 | 232 | |
| | | | | | | | |
| | | 609 | -222 | | | 232 | |
| 2 | 1,00 | 897 | -326 | -718 | -2075 | 609 | |
| | | | | | | | |
| | | 897 | -326 | | | 609 | |
| 3 | 1,50 | 1185 | -431 | -1153 | -2442 | 1129 | |
| | | | | | | | |
| | | 1185 | -431 | | | 1129 | |
| 4 | 2,00 | 272 | -99 | -1884 | -2751 | 1794 | |
| | | | | | | | |
| | | -1202 | 1310 | | | 1794 | |
| 5 | 2,50 | -2211 | 1638 | -2480 | -2190 | 799 | |
| | | | | | | | |
| | | -2211 | 1638 | | | 799 | |
| 6 | 3,00 | -2018 | 1965 | -2524 | -1466 | -325 | |
| | | | | | | | |
| | | -2018 | 1965 | | | -325 | |
| 7 | 3,50 | -1267 | 2293 | -2063 | -578 | -1196 | |
| | | | | | | | |
| | | -1267 | 2293 | | | -1196 | |
| 8 | 4,00 | -251 | 2621 | -1286 | 0 | -1611 | |
| | · · · · · · · · · · · · · · · · · · · | | | | | | |
| | | -251 | 2621 | | | -1611 | |
| 9 | 4,50 | 1577 | 2948 | -446 | 0 | -1306 | |
| | | | | | | | |
| | | 1577 | 2948 | | | -1306 | |
| 10 | 5,00 | 3566 | 3276 | 0 | 0 | 0 | |
| | | | | | | | |
| | | | | | | | |

PRESS. RISULTANTI + SOLLECITAZIONI - COMBINAZIONE FREQUENTE N.ro: 1

CARATTERISTICHE DELLA SOLLECITAZIONE SUL PALO

| N.ro | Quota m | Mf Kg∙m | N Kg | Tg Kg |
|------|------------|------------|---------|----------|
| 1 | 0,50 | -254 | -881 | 116 |
| 2 | 1,00 | -359 | -1038 | 304 |
| 3 | 1,50 | -576 | -1221 | 565 |
| 4 | 2,00 | -942 | -1375 | 897 |
| 5 | 2,50 | -1240 | -1095 | 399 |
| 6 | 3,00 | -1262 | -733 | -162 |
| 7 | 3,50 | -1032 | -289 | -598 |
| 8 | 4,00 | -643 | 0 | -805 |
| 9 | 4,50 | -223 | 0 | -653 |
| 10 | 5,00 | 0 | 0 | 0 |

PRESS. RISULTANTI + SOLLECITAZIONI - COMBINAZIONE FREQUENTE N.ro: 2

| PRESSIONI RISULTANTI E SOLLECITAZIONI | | | | | | |
|---------------------------------------|-------|-------|------|--------|-------|-------|
| N.ro | Quota | Pr | Pv | Mf | N | Tg |
| | m | Kg/m | Kg/m | Kg⋅m/m | Kg/m | Kg/m |
| | | 320 | -117 | -450 | 9 | 0 |
| 1 | 0,50 | 609 | -222 | -508 | -1762 | 232 |
| | , | | | | | |
| | | 609 | -222 | | | 232 |
| 2 | 1,00 | 897 | -326 | -718 | -2075 | 609 |
| | , | | | | ' | |
| | | 897 | -326 | | | 609 |
| 3 | 1,50 | 1185 | -431 | -1153 | -2442 | 1129 |
| | | | | | · | |
| | | 1185 | -431 | | | 1129 |
| 4 | 2,00 | 272 | -99 | -1884 | -2751 | 1794 |
| | | | | | | |
| | | -1202 | 1310 | | | 1794 |
| 5 | 2,50 | -2211 | 1638 | -2480 | -2190 | 799 |
| | | | | | | |
| | | -2211 | 1638 | | | 799 |
| 6 | 3,00 | -2018 | 1965 | -2524 | -1466 | -325 |
| | | | | | | |
| | | -2018 | 1965 | | | -325 |
| 7 | 3,50 | -1267 | 2293 | -2063 | -578 | -1196 |
| | | | | | | |
| | | -1267 | 2293 | | | -1196 |
| 8 | 4,00 | -251 | 2621 | -1286 | 0 | -1611 |
| | | | | | | |
| | | -251 | 2621 | | | -1611 |
| 9 | 4,50 | 1577 | 2948 | -446 | 0 | -1306 |
| | | | | | | |

| | PRESS. RISULTANTI + SOLLECITAZIONI - COMBINAZIONE FREQUENTE N.ro: 2 | | | | | | | | | |
|--------------------------|---|------|------|------|--------|------|-------|--|--|--|
| | PRESSIONI RISULTANTI E SOLLECITAZIONI | | | | | | | | | |
| N.ro Quota Pr Pv Mf N Tg | | | | | | | Tg | | | |
| | | m | Kg/m | Kg/m | Kg⋅m/m | Kg/m | Kg/m | | | |
| | | | 1577 | 2948 | | | -1306 | | | |
| | 10 | 5,00 | 3566 | 3276 | 0 | 0 | 0 | | | |
| | | • | | | | | | | | |

PRESS. RISULTANTI + SOLLECITAZIONI - COMBINAZIONE FREQUENTE N.ro: 2

| CA | RATTERIS | TICHE DELLA SOL | LECITAZIONE S | SUL PALO |
|------|-------------|-----------------|---------------|----------|
| N.ro | Quota | Mf | N | Tg |
| | m | Kg⋅m | Kg | Kg |
| 1 | 0,50 | -254 | -881 | 116 |
| | | | | |
| 2 | 1,00 | -359 | -1038 | 304 |
| | 4.50 | F70 | 4004 | 505 |
| 3 | 1,50 | -576 | -1221 | 565 |
| 4 | 2,00 | -942 | -1375 | 897 |
| 7 | 2,00 | -342 | -1373 | 097 |
| 5 | 2,50 | -1240 | -1095 | 399 |
| | _,00 | | | |
| 6 | 3,00 | -1262 | -733 | -162 |
| | · | | | |
| 7 | 3,50 | -1032 | -289 | -598 |
| | 1 | | | |
| 8 | 4,00 | -643 | 0 | -805 |
| | 4.50 | 005 | | 0.50 |
| 9 | 4,50 | -223 | 0 | -653 |
| 40 | 5.00 | 0 | 0 | 0 |
| 10 | 5,00 | 0 | 0 | 0 |
| | | | | |

| PRE | SS. RISUL | TANTI + SOLLE | ECITAZIONI - CO | MBINAZIONE QU | ASI PERMANEN | ITE N.ro: 1 | | | |
|------|---------------------------------------|---------------|-----------------|---------------|--------------|-------------|--|--|--|
| | PRESSIONI RISULTANTI E SOLLECITAZIONI | | | | | | | | |
| N.ro | Quota | Pr | Pv | Mf | N | Tg | | | |
| | m | Kg/m | Kg/m | Kg⋅m/m | Kg/m | Kg/m | | | |
| | | 320 | -117 | -450 | | 0 | | | |
| 1 | 0,50 | 609 | -222 | -508 | -1762 | 232 | | | |
| | | | | | | | | | |
| | | 609 | -222 | | | 232 | | | |
| 2 | 1,00 | 897 | -326 | -718 | -2075 | 609 | | | |
| | | | | | | | | | |
| | | 897 | -326 | | | 609 | | | |
| 3 | 1,50 | 1185 | -431 | -1153 | -2442 | 1129 | | | |
| | | | | | | | | | |
| | | 1185 | -431 | | | 1129 | | | |
| 4 | 2,00 | 272 | -99 | -1884 | -2751 | 1794 | | | |
| | | | | | | | | | |
| | | -1202 | 1310 | | | 1794 | | | |
| 5 | 2,50 | -2211 | 1638 | -2480 | -2190 | 799 | | | |
| | | | | | | | | | |
| | | -2211 | 1638 | | | 799 | | | |

| PRESSIONI RISULTANTI E SOLLECITAZIONI | | | | | | |
|---------------------------------------|---------------|-------|------|--------|-------|-------|
| N.ro | l.ro Quota Pr | | Pv | Mf | N | Tg |
| | m | Kg/m | Kg/m | Kg⋅m/m | Kg/m | Kg/m |
| 6 | 3,00 | -2018 | 1965 | -2524 | -1466 | -325 |
| | | | | | | |
| | | -2018 | 1965 | | | -325 |
| 7 | 3,50 | -1267 | 2293 | -2063 | -578 | -1196 |
| | | | | | | |
| | | -1267 | 2293 | | | -1196 |
| 8 | 4,00 | -251 | 2621 | -1286 | 0 | -1611 |
| | | | | | | |
| | | -251 | 2621 | | | -1611 |
| 9 | 4,50 | 1577 | 2948 | -446 | 0 | -1306 |
| | | | | | | |
| | | 1577 | 2948 | | | -1306 |
| 10 | 5,00 | 3566 | 3276 | 0 | 0 | 0 |
| | | | | | | |

PRESS. RISULTANTI + SOLLECITAZIONI - COMBINAZIONE QUASI PERMANENTE N.ro: 1

| 7 | CARATTERISTICHE DELLA SOLLECITAZIONE SUL PALO | | | | | | | | | |
|---|---|-------|-------|--------------|----------|--|--|--|--|--|
| ļ | | | | LECHAZIONE S | SUL PALO | | | | | |
| | N.ro | Quota | Mf | N | Tg | | | | | |
| | | m | Kg⋅m | Kg | Kg | | | | | |
| | 1 | 0,50 | -254 | -881 | 116 | | | | | |
| | | | | | | | | | | |
| | 2 | 1,00 | -359 | -1038 | 304 | | | | | |
| | | | | | | | | | | |
| | 3 | 1,50 | -576 | -1221 | 565 | | | | | |
| | | | | | | | | | | |
| | 4 | 2,00 | -942 | -1375 | 897 | | | | | |
| | | | | | | | | | | |
| | 5 | 2,50 | -1240 | -1095 | 399 | | | | | |
| | | | | | | | | | | |
| | 6 | 3,00 | -1262 | -733 | -162 | | | | | |
| | | | | | | | | | | |
| ĺ | 7 | 3,50 | -1032 | -289 | -598 | | | | | |
| | | | | | | | | | | |
| ĺ | 8 | 4,00 | -643 | 0 | -805 | | | | | |
| | , | | | | | | | | | |
| ľ | 9 | 4,50 | -223 | 0 | -653 | | | | | |
| | | | | | | | | | | |
| | 10 | 5,00 | 0 | 0 | 0 | | | | | |
| | | , | | | | | | | | |
| Ŀ | | | | | | | | | | |

VERIFICHE DI SICUREZZA

| RISULTATI DI CALCOLO | |
|--|-------------|
| Momento flettente massimo [kg·m/m] | -5422 |
| Quota di momento flettente massimo [m] | 3,00 |
| Spostamento a fondo scavo [mm] | 9,28 |
| Scarto finale della analisi non lineare (E-04) | 0 |
| Convergenza analisi non lineare | SODDISFATTA |
| Infissione analisi non lineare | SUFFICIENTE |
| Coefficiente di sicurezza dell' infissione | 2,0000 |

| VERIFICHE DI SICUREZZA | | |
|--|--------|--|
| RISULTATI DI CALCOLO | | |
| Moltiplicatore di collasso dei carichi | 4,0000 | |

| | VERIFICHE DI RESISTENZA SEZIONI PARATIA A PRESSO-FLESSIONE | | | | | | | | | |
|-----|--|-------|-------|-------|-------|-------|------|-----------|--|--|
| | VERIFICHE SEZIONI PARATIA IN C.L.S. | | | | | | | | | |
| Nr. | Quota | Mf | N | Aa | Mu | Т | Tu | passo st. | | |
| | (m) | (kgm) | (Kg) | (cmq) | (kgm) | (kg) | (Kg) | (cm.) | | |
| 1 | 0,50 | -381 | -1277 | 12,1 | -4793 | 317 | 5544 | 30 | | |
| 2 | 1,00 | -574 | -1101 | 12,1 | -4782 | 620 | 5544 | 30 | | |
| 3 | 1,50 | -991 | -1346 | 12,1 | -4797 | 1050 | 5544 | 30 | | |
| 4 | 2,00 | -1656 | -1604 | 12,1 | -4812 | 1608 | 5544 | 30 | | |
| 5 | 2,50 | -2368 | -1324 | 12,1 | -4795 | 1239 | 5544 | 30 | | |
| 6 | 3,00 | -2711 | -962 | 12,1 | -4774 | 134 | 5544 | 30 | | |
| 7 | 3,50 | -2364 | -518 | 12,1 | -4748 | -1110 | 5544 | 30 | | |
| 8 | 4,00 | -1537 | 0 | 12,1 | -4718 | -1788 | 5544 | 30 | | |
| 9 | 4,50 | -559 | 0 | 12,1 | -4718 | -1559 | 5544 | 30 | | |
| 10 | 5,00 | 0 | 0 | 12,1 | 4718 | 0 | 5544 | 30 | | |

| | CI | EDIMENTI V | ERTICALI | TERRENO | DI MONTI | | |
|---------|-------|------------|----------|----------------|----------|---------|---------|
| Tipo di | Comb. | Volume | DistMax | Ced.x=0 | Ced.1/4 | Ced.2/4 | Ced.3/4 |
| Analisi | N.ro | (mc) | (m) | mm | mm | mm | mm |
| SLU M1 | 1 | 0,015 | 2,40 | 24,8 | 13,9 | 6,2 | 1,5 |
| SLU M1 | 2 | 0,027 | 2,40 | 45,0 | 25,3 | 11,2 | 2,8 |
| SLU M1 | 3 | 0,030 | 2,40 | 49,4 | 27,8 | 12,4 | 3,1 |
| SLU M2 | 1 | 0,016 | 2,40 | 26,3 | 14,8 | 6,6 | 1,6 |
| SLU M2 | 2 | 0,030 | 2,40 | 49,3 | 27,7 | 12,3 | 3,1 |
| SLU M2 | 3 | 0,041 | 2,40 | 68,1 | 38,3 | 17,0 | 4,3 |
| RARA | 1 | 0,010 | 2,40 | 16,5 | 9,3 | 4,1 | 1,0 |
| RARA | 2 | 0,017 | 2,40 | 27,7 | 15,6 | 6,9 | 1,7 |
| FREQ. | 1 | 0,017 | 2,40 | 27,7 | 15,6 | 6,9 | 1,7 |
| FREQ. | 2 | 0,017 | 2,40 | 27,7 | 15,6 | 6,9 | 1,7 |
| PERM. | 1 | 0,017 | 2,40 | 27,7 | 15,6 | 6,9 | 1,7 |

| | | SP | STAME | ENTI ORIZ | ZONT | ALI PARAT | TIA - SLU M1 | - CON | IBINAZION | IE N.ro: 1 | | |
|-------|-----------|-----|-------|-----------|------|-----------|--------------|-------|------------------|------------|-------|-----------|
| Quota | SpostOriz | Quo | ta S | SpostOriz | | Quota | SpostOriz | | Quota | SpostOriz | Quota | SpostOriz |
| m | (mm) | m | | (mm) | | m | (mm) | | m | (mm) | m | (mm) |
| 0,50 | 7,38 | 1,0 | 00 | 5,95 | | 1,50 | 4,58 | | 2,00 | 3,30 | 2,50 | 2,19 |
| 3,00 | 1,28 | 3, | 50 | 0,60 | | 4,00 | 0,11 | | 4,50 | -0,27 | 5,00 | -0,59 |

| | | SPOSTA | MENTI ORIZ | ZONT | ALI PARA | ΓIA - SLU M1 | - CON | IBINAZION | IE N.ro: 2 | | |
|-------|-----------|--------|------------|------|----------|--------------|-------|-----------|------------|-------|-----------|
| Quota | SpostOriz | Quota | SpostOriz | | Quota | SpostOriz | | Quota | SpostOriz | Quota | SpostOriz |
| m | (mm) | m | (mm) | | m | (mm) | | m | (mm) | m | (mm) |
| 0,50 | 13,44 | 1,00 | 10,81 | | 1,50 | 8,30 | | 2,00 | 5,98 | 2,50 | 3,95 |
| 3,00 | 2,32 | 3,50 | 1,08 | | 4,00 | 0,19 | | 4,50 | -0,48 | 5,00 | -1,07 |

| | | SPOSTA | MENTI ORIZ | ZONT | ALI PARA | ΓIA - SLU M1 | - COI | /IBINAZION | IE N.ro: 3 | | |
|-------|-----------|--------|------------|------|----------|--------------|-------|------------|------------|-------|-----------|
| Quota | SpostOriz | Quota | SpostOriz | | Quota | SpostOriz | | Quota | SpostOriz | Quota | SpostOriz |
| m | (mm) | m | (mm) | | m | (mm) | | m | (mm) | m | (mm) |
| 0,50 | 14,68 | 1,00 | 11,84 | | 1,50 | 9,12 | | 2,00 | 6,60 | 2,50 | 4,39 |

| | | SPOSTA | MENTI ORIZ | ZONT | ALI PARA | ΓIA - SLU M1 | - CON | MBINAZION | IE N.ro: 3 | | |
|-------|-----------|--------|------------|------|----------|--------------|-------|-----------|------------|-------|-----------|
| Quota | SpostOriz | Quota | SpostOriz | | Quota | SpostOriz | | Quota | SpostOriz | Quota | SpostOriz |
| m | (mm) | m | (mm) | | m | (mm) | | m | (mm) | m | (mm) |
| 3,00 | 2,59 | 3,50 | 1,23 | | 4,00 | 0,24 | | 4,50 | -0,52 | 5,00 | -1,18 |

| | | SPOSTA | MENTI ORIZ | ZONT | ALI PARA | ΓIA - SLU M2 | - CON | /IBINAZION | IE N.ro: 1 | | |
|-------|-----------|--------|------------|------|----------|--------------|-------|------------|------------|-------|-----------|
| Quota | SpostOriz | Quota | SpostOriz | | Quota | SpostOriz | | Quota | SpostOriz | Quota | SpostOriz |
| m | (mm) | m | (mm) | | m | (mm) | | m | (mm) | m | (mm) |
| 0,50 | 7,79 | 1,00 | 6,31 | | 1,50 | 4,87 | | 2,00 | 3,53 | 2,50 | 2,35 |
| 3,00 | 1,39 | 3,50 | 0,66 | | 4,00 | 0,13 | | 4,50 | -0,28 | 5,00 | -0,63 |

| | | SPOSTA | MENTI ORIZ | ZONT | ALI PARA | ΓIA - SLU M2 | - CON | MBINAZION | IE N.ro: 2 | | |
|-------|-----------|--------|------------|------|----------|--------------|-------|-----------|------------|-------|-----------|
| Quota | SpostOriz | Quota | SpostOriz | | Quota | SpostOriz | | Quota | SpostOriz | Quota | SpostOriz |
| m | (mm) | m | (mm) | | m | (mm) | | m | (mm) | m | (mm) |
| 0,50 | 14,56 | 1,00 | 11,78 | | 1,50 | 9,10 | | 2,00 | 6,61 | 2,50 | 4,42 |
| 3,00 | 2,62 | 3,50 | 1,26 | | 4,00 | 0,26 | | 4,50 | -0,51 | 5,00 | -1,18 |

| | | SPOSTA | MENTI ORIZZ | ZONT | ALI PARAT | ΓIA - SLU M2 | - CON | MBINAZION | NE N.ro: 3 | | |
|-------|-----------|--------|-------------|------|-----------|--------------|-------|-----------|------------|-------|-----------|
| Quota | SpostOriz | Quota | SpostOriz | | Quota | SpostOriz | | Quota | SpostOriz | Quota | SpostOriz |
| m | (mm) | m | (mm) | | m | (mm) | | m | (mm) | m | (mm) |
| 0,50 | 19,75 | 1,00 | 16,11 | | 1,50 | 12,59 | | 2,00 | 9,28 | 2,50 | 6,33 |
| 3,00 | 3,86 | 3,50 | 1,93 | | 4,00 | 0,48 | | 4,50 | -0,65 | 5,00 | -1,65 |

| | | SPOST | TAMENTI ORIZ | ZZON | ITALI PARA | ATIA - COMBI | NAZI | ONE RARA | N.ro: 1 | | |
|-------|-----------|-------|--------------|------|------------|--------------|------|----------|-----------|-------|-----------|
| Quota | SpostOriz | Quota | SpostOriz | | Quota | SpostOriz | | Quota | SpostOriz | Quota | SpostOriz |
| m | (mm) | m | (mm) | | m | (mm) | | m | (mm) | m | (mm) |
| 0,50 | 4,92 | 1,00 | 3,97 | | 1,50 | 3,05 | | 2,00 | 2,20 | 2,50 | 1,46 |
| 3,00 | 0,86 | 3,50 | 0,40 | | 4,00 | 0,07 | | 4,50 | -0,18 | 5,00 | -0,40 |

| | | SPOS | TAMENTI ORI | ZZON | TALI PAR | ATIA - COMBI | INAZI | ONE RARA | N.ro: 2 | | |
|-------|-----------|-------|-------------|------|----------|--------------|-------|----------|-----------|-------|-----------|
| Quota | SpostOriz | Quota | SpostOriz | | Quota | SpostOriz | | Quota | SpostOriz | Quota | SpostOriz |
| m | (mm) | m | (mm) | | m | (mm) | | m | (mm) | m | (mm) |
| 0,50 | 8,33 | 1,00 | 6,68 | | 1,50 | 5,10 | | 2,00 | 3,65 | 2,50 | 2,39 |
| 3,00 | 1,39 | 3,50 | 0,64 | | 4,00 | 0,10 | | 4,50 | -0,31 | 5,00 | -0,66 |

| | | SPOSTAN | IENTI ORIZZO | NTA | LI PARATI | A - COMBINA | ZIONI | E FREQUE | NTE N.ro: 1 | | |
|-------|-----------|---------|--------------|-----|-----------|-------------|-------|----------|-------------|-------|-----------|
| Quota | SpostOriz | Quota | SpostOriz | | Quota | SpostOriz | | Quota | SpostOriz | Quota | SpostOriz |
| m | (mm) | m | (mm) | | m | (mm) | | m | (mm) | m | (mm) |
| 0,50 | 8,33 | 1,00 | 6,68 | | 1,50 | 5,10 | | 2,00 | 3,65 | 2,50 | 2,39 |
| 3,00 | 1,39 | 3,50 | 0,64 | | 4,00 | 0,10 | | 4,50 | -0,31 | 5,00 | -0,66 |

| | | SPOSTAN | IENTI ORIZZO | NTA | LI PARATIA | A - COMBINA | ZIONE | FREQUE | NTE N.ro: 2 | | |
|-------|-----------|---------|--------------|-----|------------|-------------|-------|--------|-------------|-------|-----------|
| Quota | SpostOriz | Quota | SpostOriz | | Quota | SpostOriz | | Quota | SpostOriz | Quota | SpostOriz |
| m | (mm) | m | (mm) | | m | (mm) | | m | (mm) | m | (mm) |
| 0,50 | 8,33 | 1,00 | 6,68 | | 1,50 | 5,10 | | 2,00 | 3,65 | 2,50 | 2,39 |
| 3,00 | 1,39 | 3,50 | 0,64 | | 4,00 | 0,10 | | 4,50 | -0,31 | 5,00 | -0,66 |

| | SPOSTAMENTI ORIZZONTALI PARATIA - COMBINAZIONE QUASI PERMANENTE N.ro: 1 | | | | | | | | | | | | |
|-------|---|--|-------|-----------|--|-------|-----------|--|-------|-----------|--|-------|-----------|
| Quota | SpostOriz | | Quota | SpostOriz | | Quota | SpostOriz | | Quota | SpostOriz | | Quota | SpostOriz |
| m | (mm) | | m | (mm) | | m | (mm) | | m | (mm) | | m | (mm) |
| 0,50 | 8,33 | | 1,00 | 6,68 | | 1,50 | 5,10 | | 2,00 | 3,65 | | 2,50 | 2,39 |
| 3,00 | 1,39 | | 3,50 | 0,64 | | 4,00 | 0,10 | | 4,50 | -0,31 | | 5,00 | -0,66 |

VERIFICHE S.L.E.

| FESSURAZIONE PARATIA | | | | | | | | | | | |
|----------------------|---|-----|------|-------|-----|------|------|----------|--|--|--|
| Tipo | Cmb Conc N fes M fes Dist. Wcalc W Lim Veri | | | | | | | | | | |
| Comb | fes | fes | Kg | Kgm | cm | mm | mm | | | | |
| Rara | | | | | | | | | | | |
| Freq | 1 | 6 | -733 | -1262 | 244 | 0,13 | 0,30 | VERIFICA | | | |
| Perm | 1 | 6 | -733 | -1262 | 244 | 0,13 | 0,20 | VERIFICA | | | |

| | VERIFICHE S.L.E. | | | | | | | | | | | | |
|------|-------------------------------|------|-----|-----|--------|--------|-----|------|------|------|--------|--------|----------|
| | TENSIONI DI ESERCIZIO PARATIA | | | | | | | | | | | | |
| Tipo | Cmb | Conc | Νσο | Мσс | σς | σc Lim | Cmb | Conc | N of | M of | σf | σf Lim | Verifica |
| Comb | σc | σο | Kg | Kgm | Kg/cmq | Kg/cmq | σf | σf | Kg | Kgm | Kg/cmq | Kg/cmq | |

Ripristino strutturale di un tratto di via croce dei monti che si presenta parzialmente crollato nel suolo agricolo sottostante Comune di Ercolano (NA)

| | VERIFICHE S.L.E. | | | | | | | | | | | | |
|--------------|-------------------------------|------|------|-------|--------|--------|-----|------|------|-------|--------|--------|----------|
| | TENSIONI DI ESERCIZIO PARATIA | | | | | | | | | | | | |
| Tipo | Cmb | Conc | Ν σς | Мσс | σc | σc Lim | Cmb | Conc | N σf | Μσf | σf | σf Lim | Verifica |
| Comb | σc | σο | Kg | Kgm | Kg/cmq | Kg/cmq | σf | σf | Kg | Kgm | Kg/cmq | Kg/cmq | |
| Rara Freq | 2 | 6 | -733 | -1262 | -74,5 | 150,0 | 2 | 6 | -733 | -1262 | 1208 | 3600 | VERIFICA |
| Perm | 1 | 6 | -733 | -1262 | -74,5 | 112,0 | | | | | | | VERIFICA |

CONCLUSIONI

Le verifiche riportate nella presente relazione tecnica, sono conformi alle normative vigenti ed alle specifiche prescrizioni di sicurezza per la tipologia costruttiva ed operativa della destinazione d'uso prevista. Tutti i parametri ed i coefficienti richiesti dalle suddette normative sono soddisfatti ma, trattandosi di calcoli preliminare, in fase di redazione del progetto esecutivo dovranno essere rielaborati anche in funzione di ulteriori informazioni disponibili, in modo particolare sulle caratteristiche geomeccaniche dei terreni attraversati.